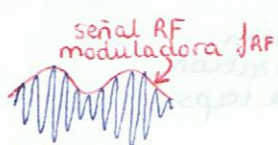


CAPÍTULO 1: INTRODUCCIÓN: APLICACIONES DE LA FOTÓNICA DE MICROONDAS



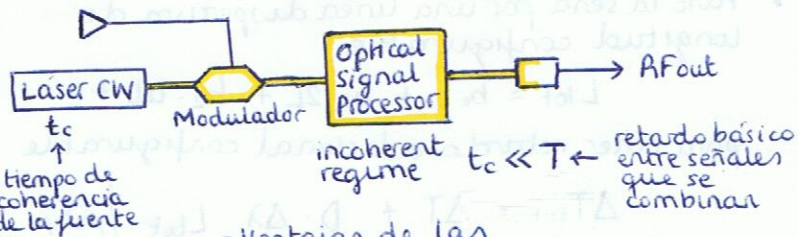
1. RF systems and applications

Tradicional:



- AB limitado
- Poca flexibilidad (modulación y Vtx fija)
- Interferencias
- Pérdidas dependientes de la frecuencia

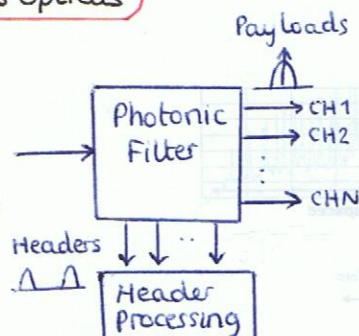
Fotónico:



- Ventajas de las fibras ópticas

- Mobile, Wireless LAN, mm wave
 - channel selection
 - channel rejection
 - SNR improvement, dispersion mitigation
- Allí donde el peso sea crítico
- MTI Radar
- Optical Beamforming en Array Antennas
- Procesado de señales de THz (gracias a t_c)

2. Aplicación en Redes Ópticas



• Otra aplicación: eliminar una banda lateral para lograr SSB (sin supresión de subportadora) un AWG puede hacerlo con todos los canales a la vez.

- Separación carga y cabeceras
- Extracción tono pulso
- Separación de subportadoras JRFI en una misma λ óptica

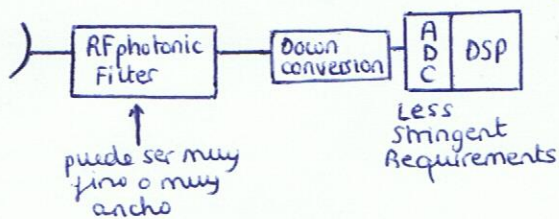
- Ventajas
 - Optical Delay Lines (ODL)
 - Paralelismo ESPACIAL y WAVELENGTH simultáneamente

- pérdidas ↘ independientes de fRF
- producto tiempo × ancho banda alto $T \times B$
- inmunes a interferencia
- very short time delays → allows sampling rate of 100 GHz (even THz on air propagation)

EJEMPLOS DE APLICACIÓN

Mobile, wireless & Radio

Filtro fotónico directamente en RF SIN down conversion

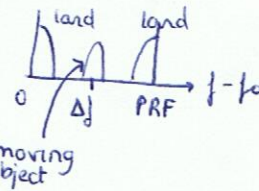


channel rejection:

- e.g. radioastronomía, eliminar interferencias humanas
- e.g. eliminación de ruido y canales interferentes en UMTS

channel selection:

- e.g. separar el canal deseado (UMTS, Hiper-Lan, LMDS)
- e.g. seleccionar frecuencia Doppler deseada en un radar MTI



ejemplo: Filtro de canal UMTS (5 MHz) a 2 GHz

- Super LED (fuente ancha) 
 - La modulo con datos
 - Tomo muestras en λ con FBG's
(cada muestra retarde adicional ΔT)
 - Paso la seña por una linea dispersiva de longitud configurable

- High Q (~ 400)
- Tunability for 12 channels

$$L_{\text{tot}} = b_0 L + b_1 \cdot 2L + b_2 \cdot 4L + \dots$$

para tener retraso adicional configurable

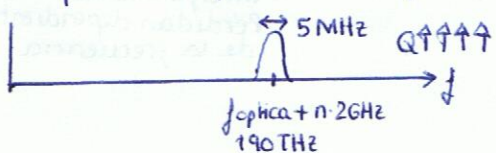
$$\Delta T_{\text{tot}} = \Delta T + D \cdot \Delta \lambda \cdot L_{\text{tot}}$$

↑
dispersion

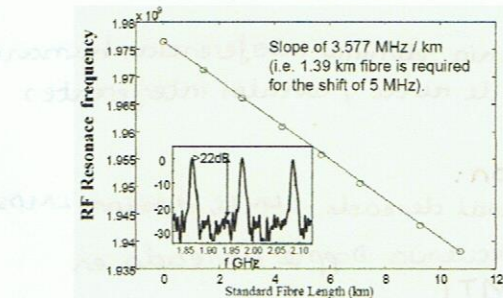
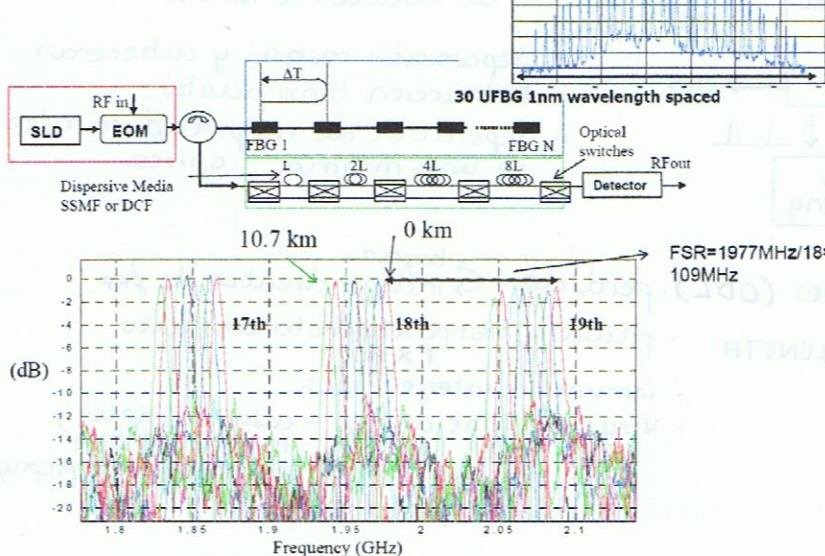
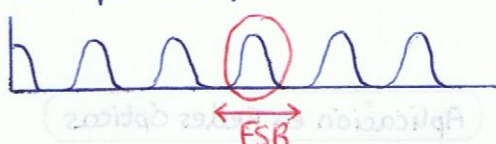
slope
3 MHz/km
central

- Detector (combina muestras) → filtro FIF

En óptica este filtro sería difícilísimo

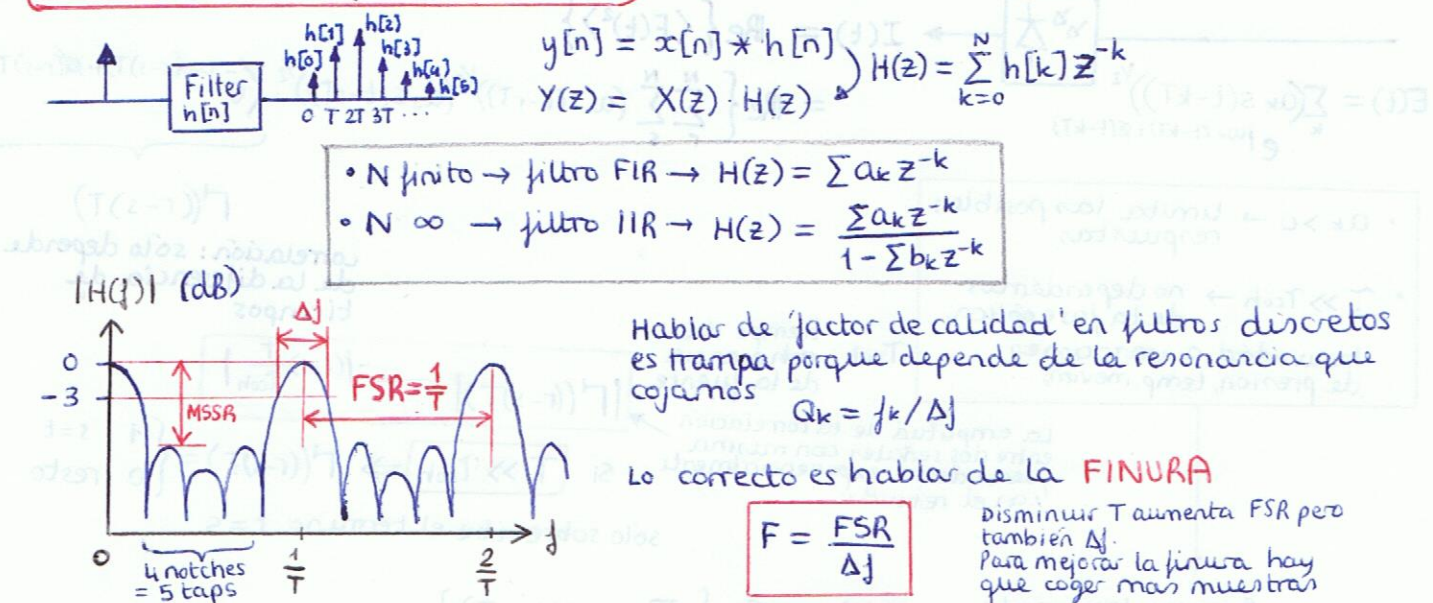


Pero nos sirve con resonancia de orden superior (si el FSR es suficiente)

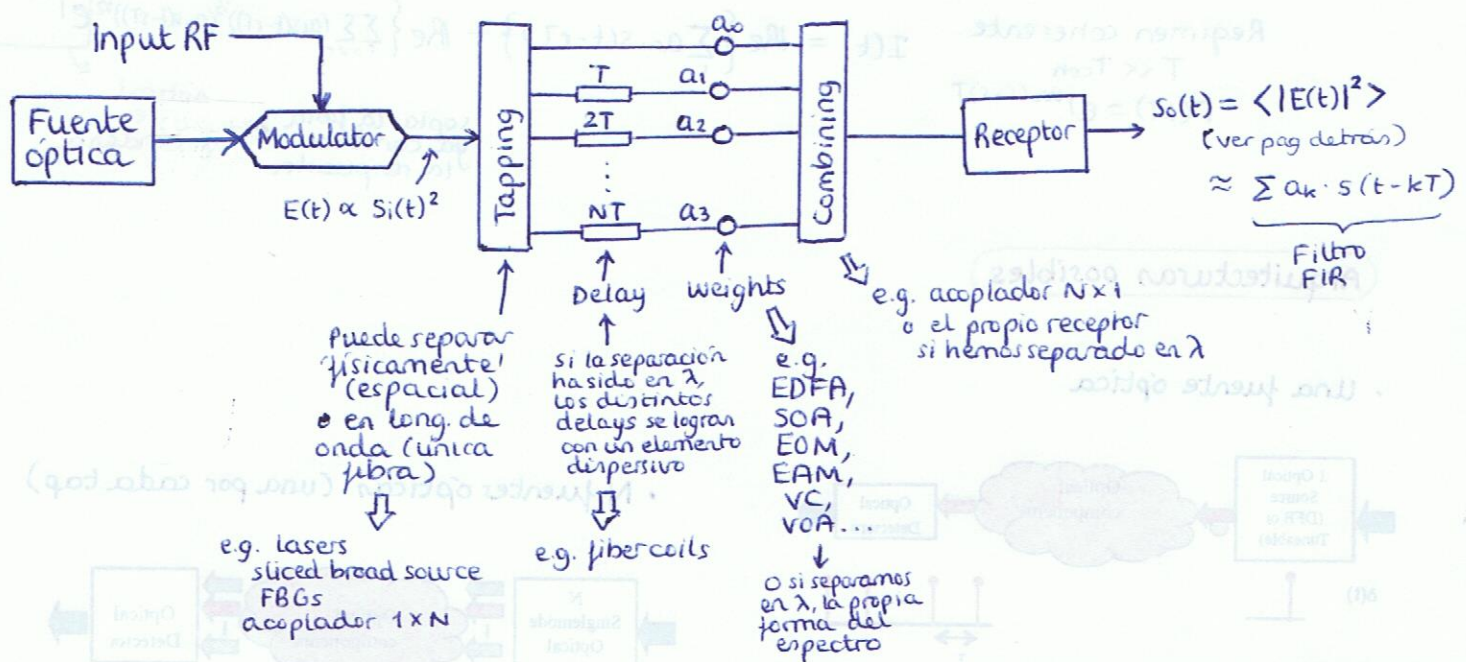


CAPITULO 2. FUNDAMENTOS DE LOS FILTROS FOTÓNICOS DE MICROONDAS

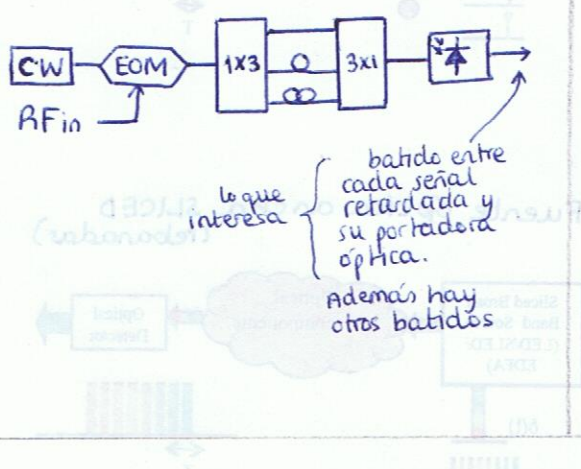
Función de Transferencia en RF



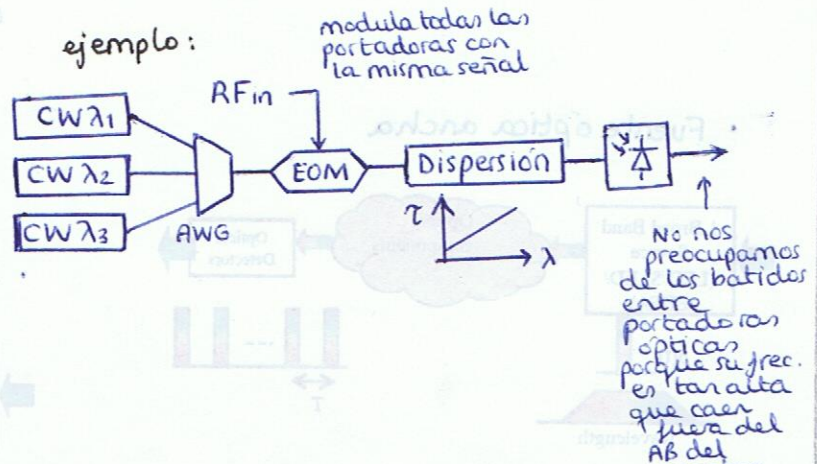
Filtro fotónico de RF



ejemplo:



ejemplo:



Coherent vs. Incoherent

$$E(t) = \sum_k (a_k s(t-kT))^{1/2} e^{j\omega_0 t - jkT + \phi(t-kT)}$$

$$I(t) = \text{Re} \left\{ \langle E(t)^2 \rangle \right\}$$

$$= \text{Re} \left\{ \sum_r^N \sum_s^N (a_r s(t-rT))^{1/2} (a_s s(t-sT))^{1/2} \langle e^{-j\omega_0(r-s)T} - \phi(r-s)T \rangle \right\}$$

al cuadrado y promediado

- $a_k > 0 \rightarrow$ limita las posibles respuestas
- $T \gg T_{coh} \rightarrow$ no dependemos de la fase óptica
Inmunidad a variaciones de presión, temp, movim, ...

Tcoh: tiempo de cohärenza de la fuente

La amplitud de la correlación entre dos señales con misma fuente decréce exponencialmente con el retardo

$$|\Gamma((r-s)T)| \propto e^{-|r-s| \frac{T}{T_{coh}}}$$

$\Gamma((r-s)T)$
correlación: sólo depende de la diferencia de tiempos

$$\text{si } T \gg T_{coh} \Rightarrow \Gamma((r-s)T) = \begin{cases} 1 & s=t \\ 0 & \text{resto} \end{cases}$$

sólo sobrevive el término $r=s$

Régimen Incoherente
 $T \gg T_{coh}$

$$I(t) = \text{Re} \left\{ \sum_r a_r \cdot s(t-rT) \right\}$$

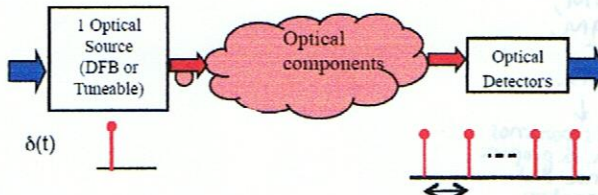
Régimen coherente
 $T \ll T_{coh}$

$$I(t) = \text{Re} \left\{ \sum_r a_r \cdot s(t-rT) \right\} + \text{Re} \left\{ \sum_{r \neq r'} (a_r s(t-rT))^{1/2} (a_{r'} s(t-r'T))^{1/2} e^{j\omega_0(s-r)T} \right\}$$

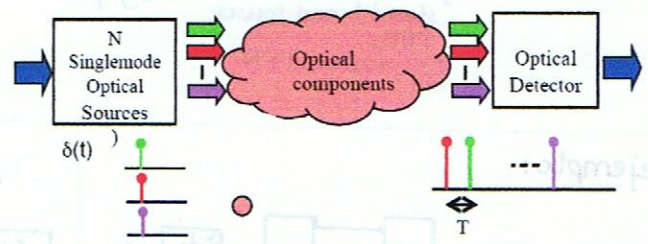
soplar la fibra ya cambia la respuesta
optical phase dependence

Arquitecturas posibles

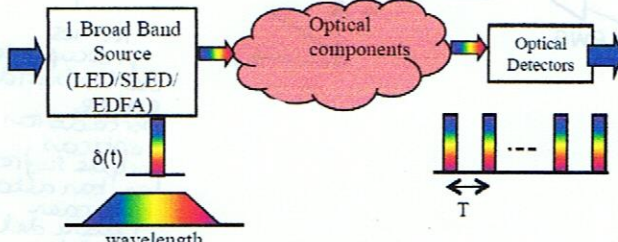
- Una fuente óptica



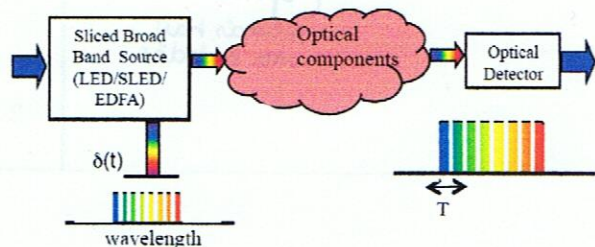
- N fuentes ópticas (una por cada tap)



- Fuente óptica ancha



- Fuente óptica ancha SLICED (rebanadas)



Filter Operation

Filter Tunability

Variación del Time Delay $T \rightarrow$ varía FSR

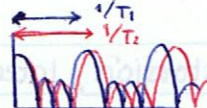
- switched propagation paths (optical switches 1-10ms)

Reconfigurability

- Change a_k, b_k coefficients

- Windowing / Apodisation / Weighting

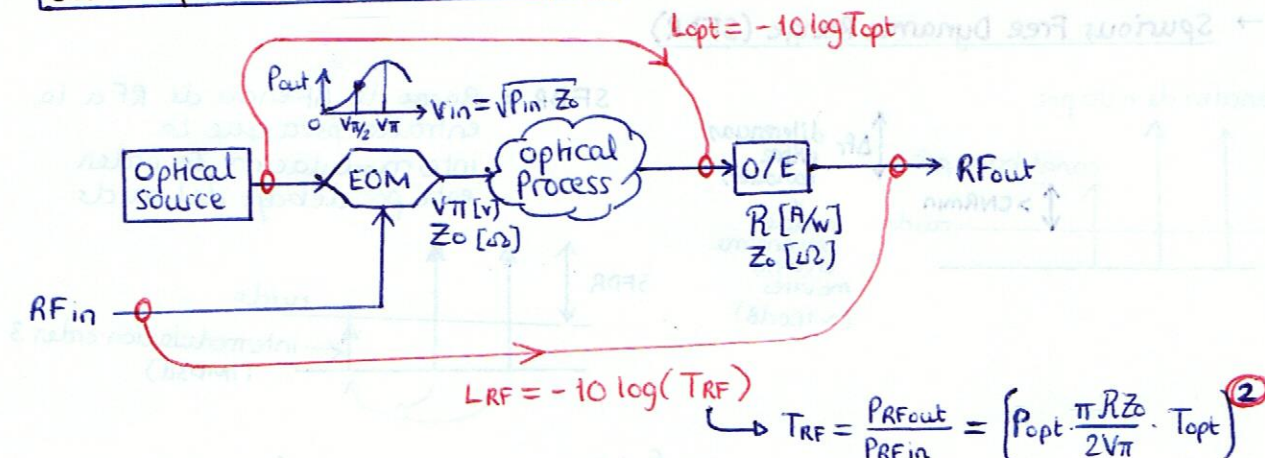
↓
improve MSSR



RÁPIDO

- wavelength tuning + dispersion (e.g. linearly chirped FBG) (100ns to >100ms) + multiple sources
- tuneable dispersive devices (e.g. FBG with actuators) (100ms-1s)

Gain Equations and Noise Figure



$$LRF = 2 \cdot -10 \log(T_{opt}) + 20 \log\left(\frac{\pi P_{opt} R Z_0}{2 V_{pi}}\right)$$

$$LRF(dB) = 2 L_{opt}(dB) + L_{EOM/CE}(dB)$$

pérdidas eléctricas
son las ópticas
al cuadrado

$dB_o \rightarrow dB óptico$
 $dB_e \rightarrow dB eléctrico$
 $1 dB_o \rightarrow 2 dB_e !$

Compensar pérdidas: ej 36dB_e

- Todo con amplif. RF
 $A = 36 dB_e$

- antes del EOM → Buena Noise Figure
→ Mala intermodulación / Distorsión
- después del detector → Bueno para intermodulación
→ Malo para Noise Figure
- dividido en ambos

- Todo en óptico → La mitad de amplif.

$$A = 18 dB_o$$

- Combinar RF y óptico: ej 12 dB_o y 12 dB_e = 36 dB_e

Noise sources in the photonic filter

RF: - ruido térmico en amplificadores

- ruido térmico + ruido shot en el detector

Óptico: Fuentes: - ruido RIN y Phase to Intensity conversion (PIC)
- Optical Carrier Beating (entre fuentes)

Amplif: - ruido Amplified Spontaneous Emission (ASE)
batidos señal-ASE y ASE-ASE

• Distorsión, Intermodulación, Rango dinámico

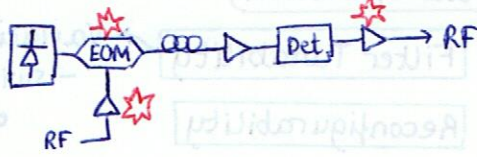
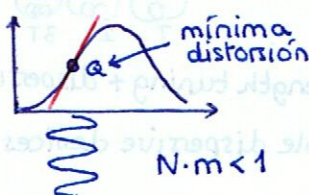
- Amplificadores de RF → distorsión

- Modulador
SOA → distorsión



se usa poco por AB límitado

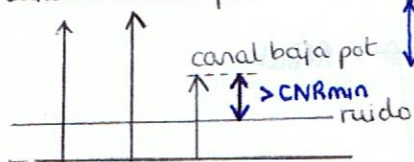
Externo



Limitar potencia RF de entrada → Limitar ganancia RF antes del EOM → Problemas de pérdidas y de figura de ruido

→ Spurious Free Dynamic Range (SFDR)

canales de alta pot

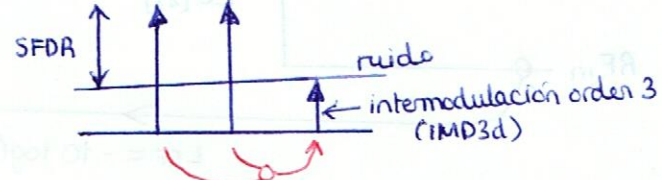


diferencias entre canales
puede ser enorme en cel. móviles (~100dB)

> CNRmin

ruido

$SFDR = \text{Rango de potencia de RF a la entrada para que la intermodulación 3er orden esté por debajo del ruido}$



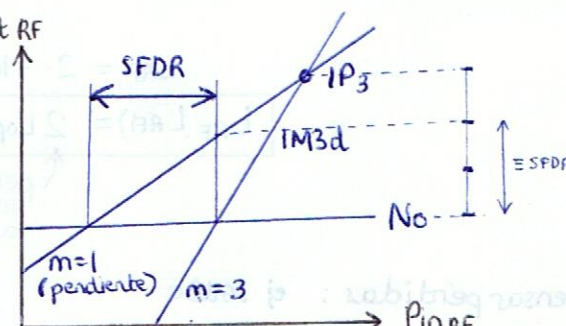
$$SFDR(\text{dB}) = \frac{2}{3} \cdot (IP_3(\text{dB}) - No(\text{dB}))$$

No e IP₃ son parámetros del sistema

$$No = (RIN \cdot I_p^2 + 2qI_p + \langle i^2 \rangle) R_L$$

$$IP_3 = P_{out} \cdot \left(\frac{P_{out}}{P_{IM3d}} \right)^{1/2}$$

depende de la modulación que usemos



• Efecto de la polarización

• Es una pega importante en los sistemas coherentes

• A veces también afecta a los sistemas coherentes

(some signal samples experience exactly the same delay within the filter leading to coherent interference) $\rightarrow R((r-s)T) = R(0) = 1$

- Usar control de polarización a la entrada de los EOM y de los SOA

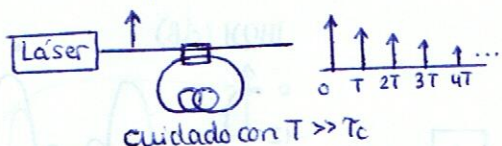
CAPÍTULO 3 : IMPLEMENTACIONES DE FILTROS FOTÓNICOS DE RF

A LITTLE HISTORY

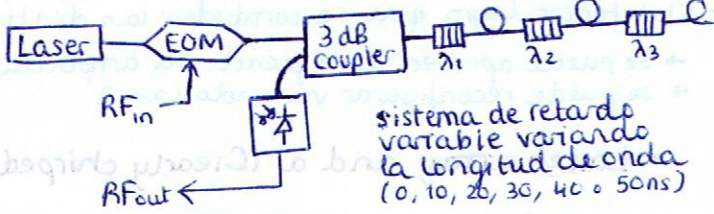
→ Fiber Optic Delay Lines

1976: proposed
1977: filter with 3 multimode fibers
1977: 15 multimode fibers
 $= 15 \text{ taps with } \Delta T = 5.2 \text{ ns}$
 $\rightarrow f_{RF} = 193 \text{ MHz}$

1985: filtro transversal usando acople en anillo



→ Fiber-grating-based optical processors

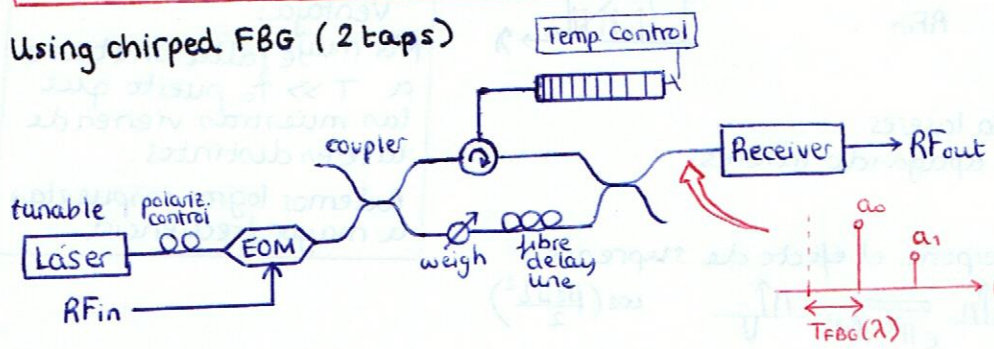


sistema de retraso variable variando la longitud de onda (0, 10, 20, 30, 40 o 50ns)

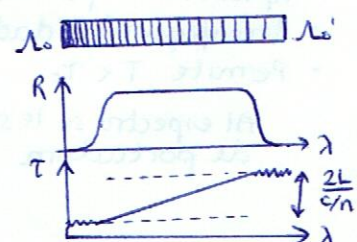
Año 1994 → Paper de referencia importante

1. FILTROS BASADOS EN UNA UNICA FUENTE

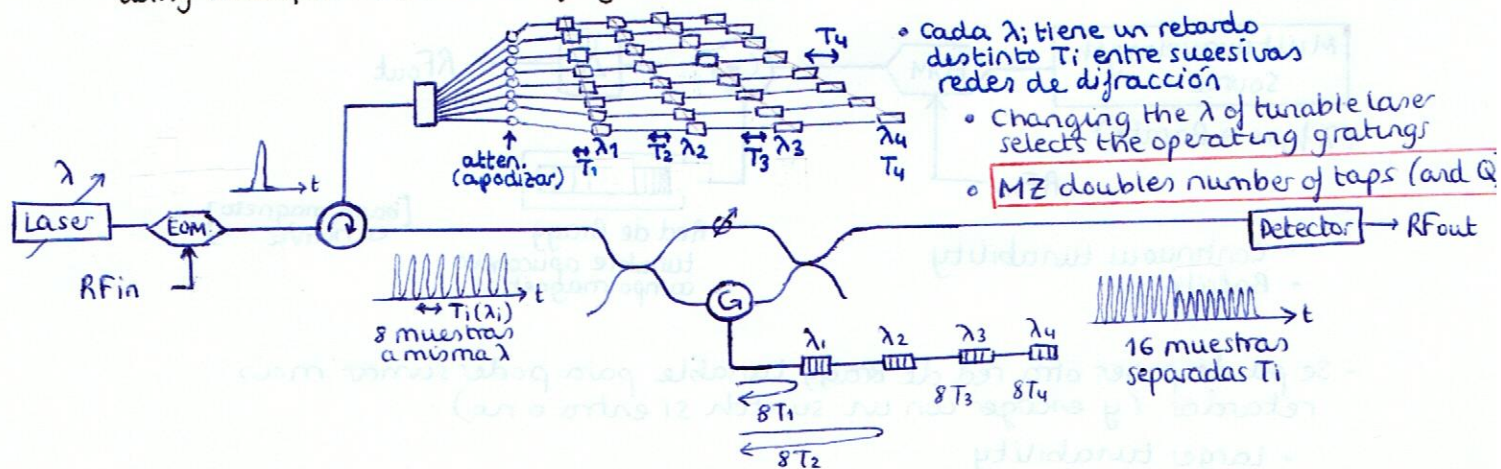
• Using chirped FBG (2 taps)



- linear and continuous tuning



• Tunable bandpass filter using multiple FBG's at varying distance

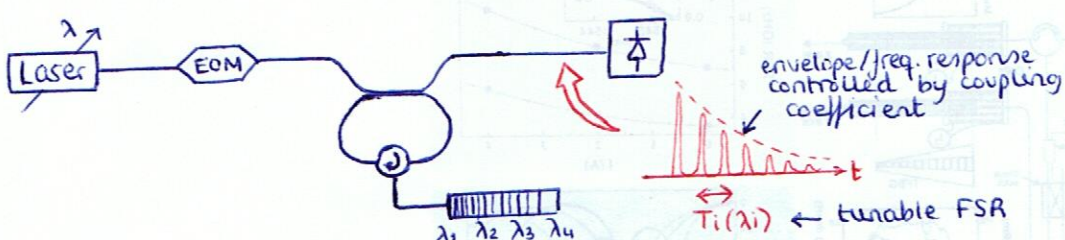


- Cada λ_i tiene un retraso distinto T_i entre susivas redes de difracción

- Changing the λ of tunable laser selects the operating gratings

- MZ doubles number of taps (and Q)

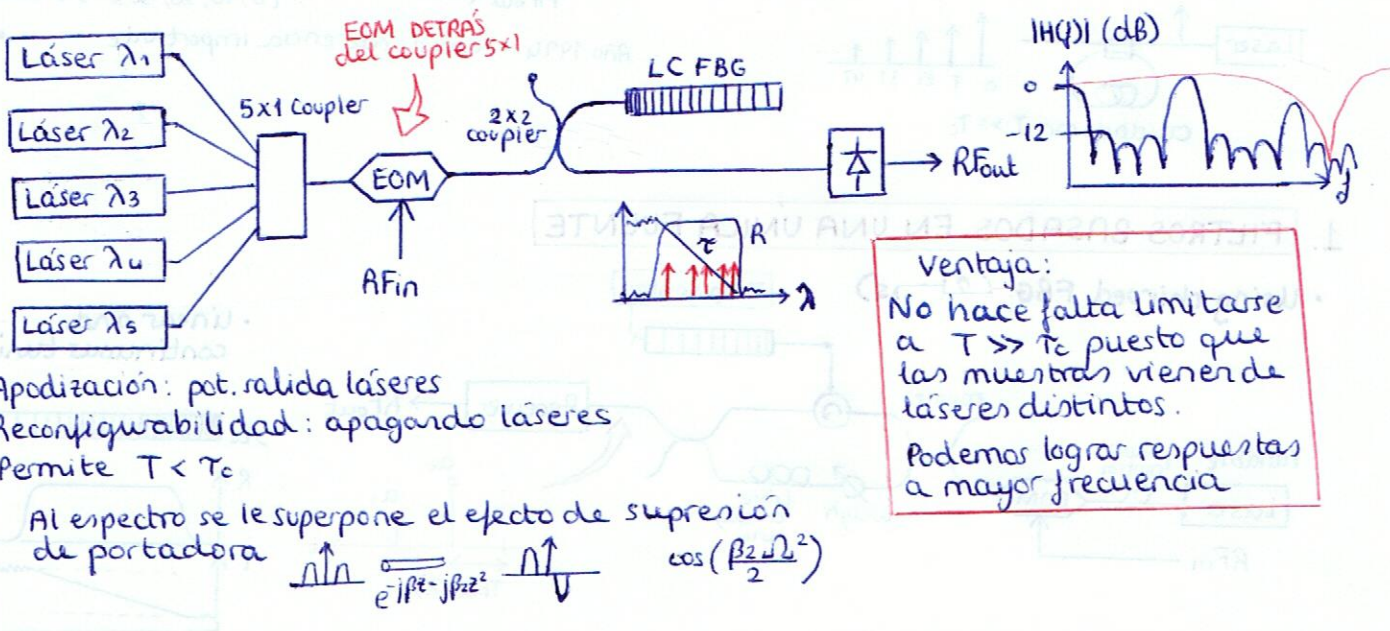
• Notch filter with optical fiber recirculating line (IIR response)



2. FILTROS BASADOS EN MÚLTIPLES FUENTES

- Las distintas muestras son distintos láseres (a distintas λ) \rightarrow modulados a la vez con la señal de RF
- Introduzco un retardo distinto para cada láser
- El detector logra que se combinen las distintas muestras (se suman)
- \rightarrow se puede apodizar escogiendo la amplitud de cada láser
- \rightarrow se puede reconfigurar variando las λ

- Laser array and a linearly chirped FBG (LCFBG) (Pastor, capmany y Ortega)



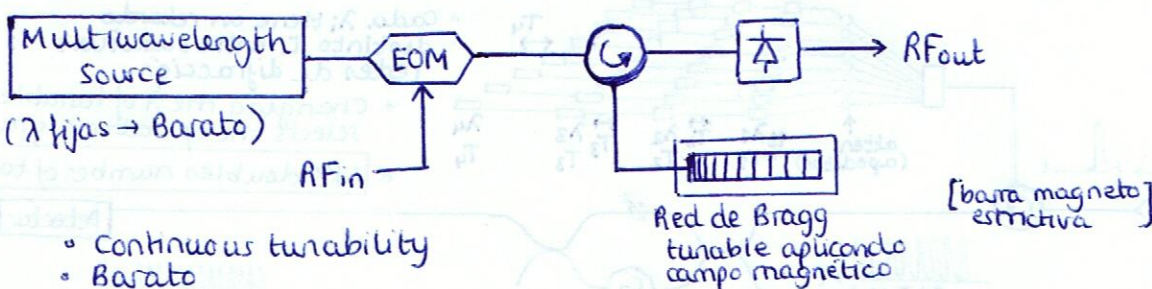
- Apodización: pot. salida láseres
- Reconfigurabilidad: apagando láseres
- Permite $T < T_c$

Al espectro se le superpone el efecto de supresión de portadora

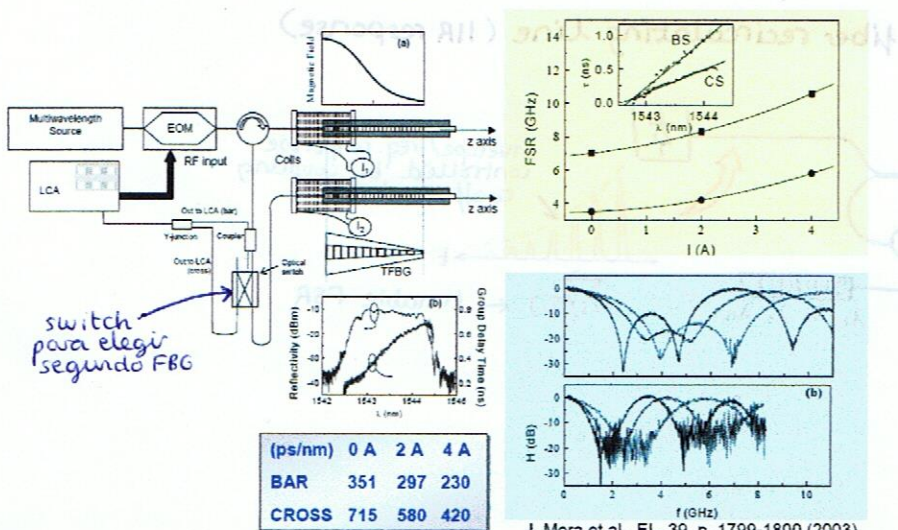
$$\frac{N}{e^{j\beta z} - j\beta z^2} \frac{N}{V} \cos\left(\frac{\beta_2 z^2}{2}\right)$$

Ventaja:
No hace falta limitarse a $T \gg T_c$ puesto que las muestras vienen de láseres distintos.
Podemos lograr respuestas a mayor frecuencia

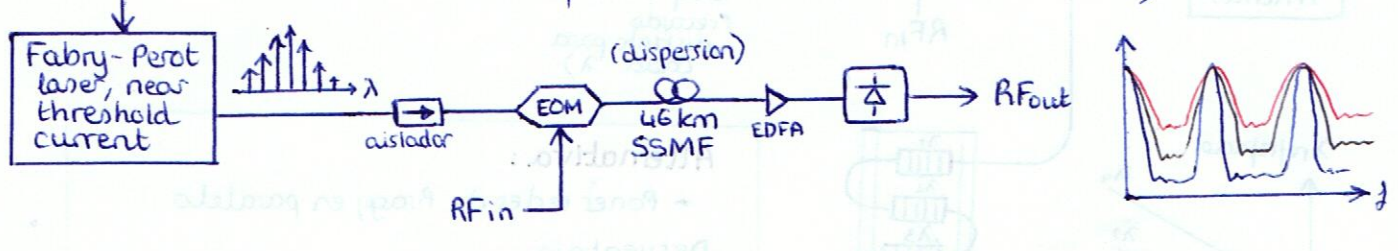
- Multi-wavelength source with tunable chirped grating



- Se puede poner otra red de Bragg tunable para poder sumar más retardos (y escoger con un switch si entra o no)
- Larger tunability



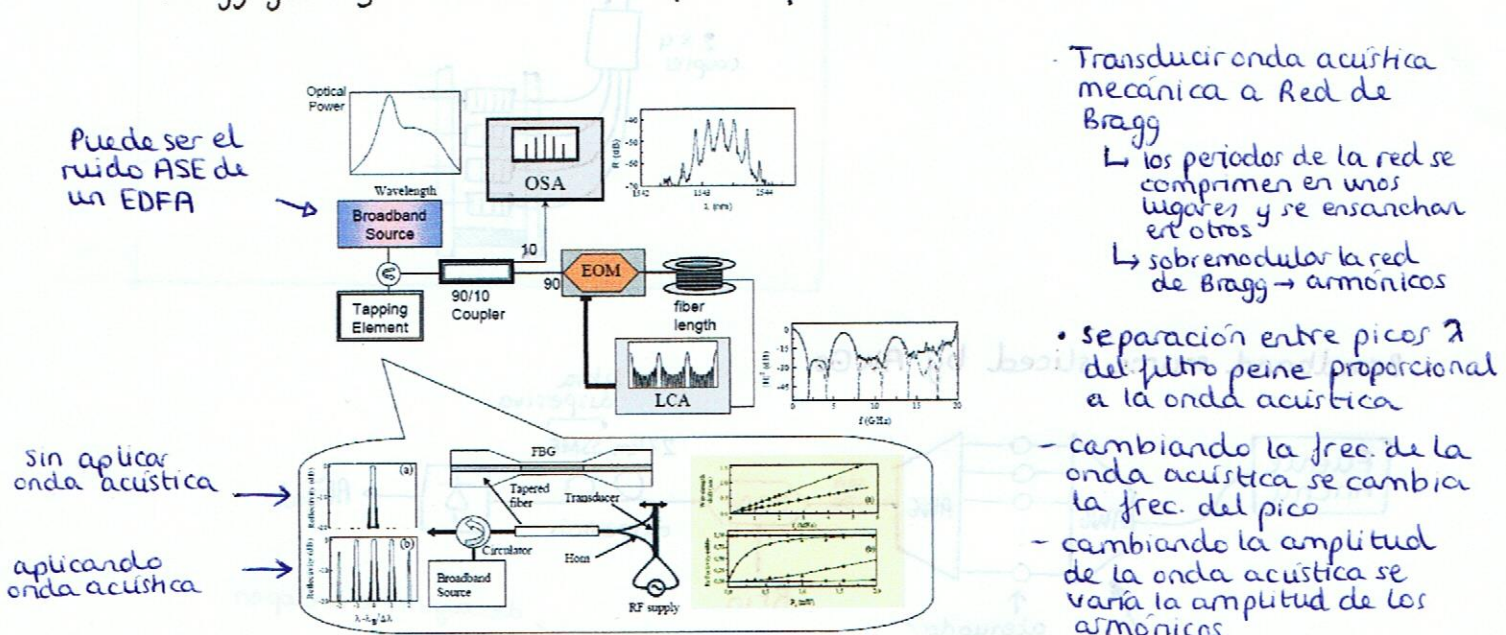
- Current injection in multimode lasers
 - MUY BARATO Y SENCILLO
 - Aprovecha la apodización que tiene "de casa" un láser Fabry Perot.
 - cambiando la corriente cambia la apodización (aunque no individualmente cada modo)



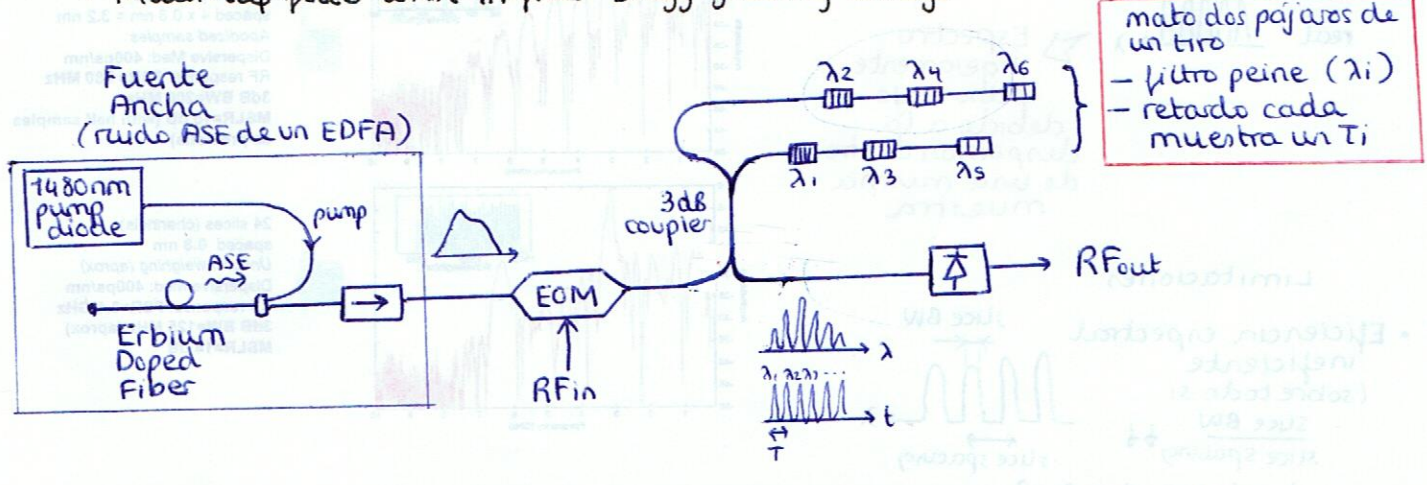
3. FILTROS BASADOS EN FUENTE ANCHA

- Ranurar espectro ancho (filtro peine) para obtener las distintas muestras temporales
 - ↓
 - Tapping element → diversas opciones

- Bragg grating based acousto-optic superlattice modulator

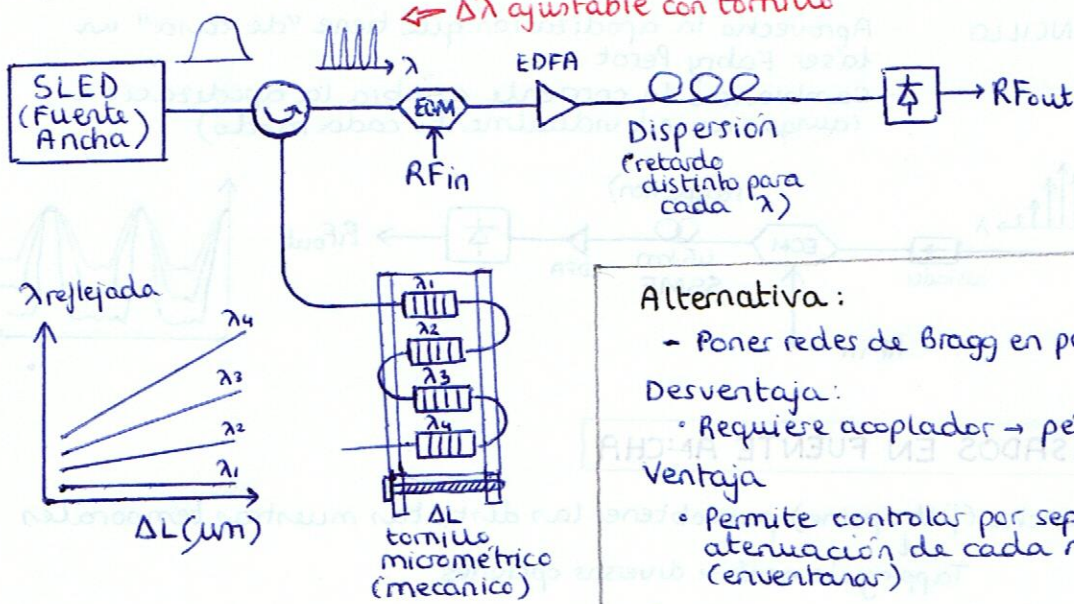


- Multi-tap filter with in-fiber Bragg grating arrays



• Si el filtre no es lo suficiente selectivo → se pierde información → se pierde información → se pierde información

- LED sliced by tunable gratings



Alternativa:

- Poner redes de Bragg en paralelo

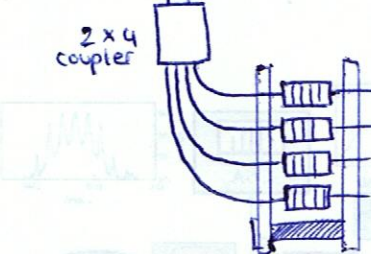
Desventaja:

- Requiere acoplador \rightarrow pérdidas

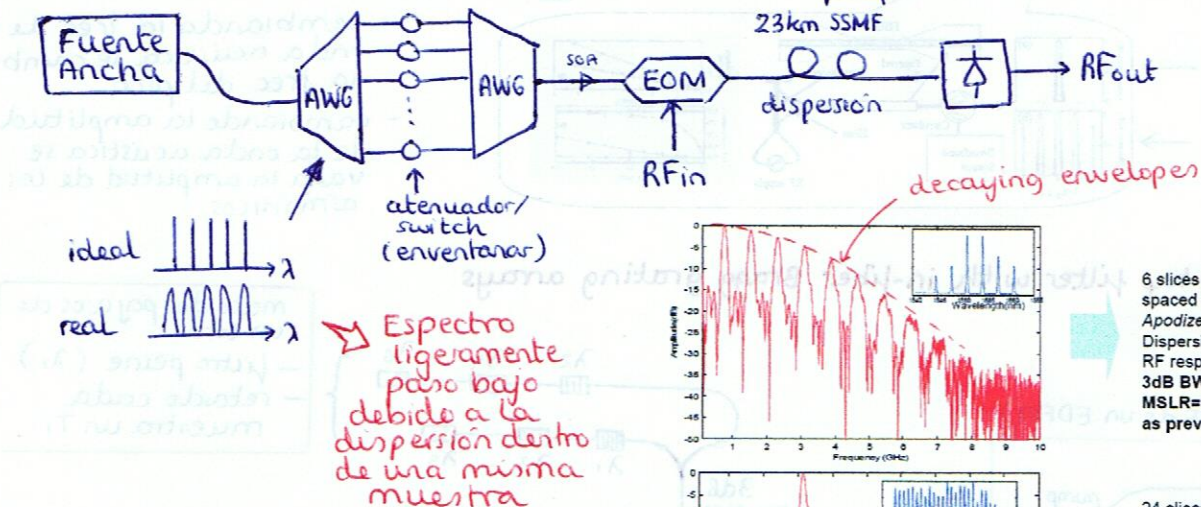
Ventaja

- Permite controlar por separado la atenuación de cada muestra (enventanar)

From SLED To EOM

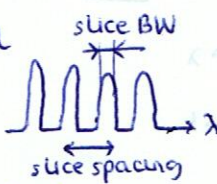


- Broadband source sliced by AWGs



Limitaciones:

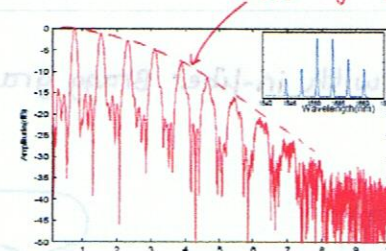
- Eficiencia espectral ineficiente sobre todo si slice BW \uparrow



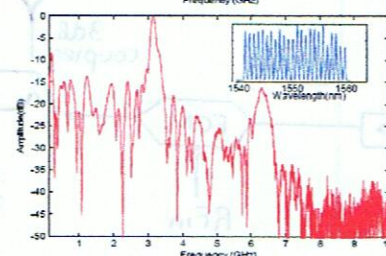
\hookrightarrow interesa slice BW \uparrow

- RF decaying envelope: debido a anchura espectral de muestras \rightarrow interesa slice BW \uparrow

- controlar amplitud de cada tap es difícil



6 slices (channels)
spaced $4 \times 0.8 \text{ nm} = 3.2 \text{ nm}$
Apodized samples
Dispersive Med: 400ps/nm
RF response: FSR= 780 MHz
3dB BW=200 MHz
MSLR=15 dB (with half samples as previous)



24 slices (channels)
spaced 0.8 nm
Uniform weighing (aprox)
Dispersive Med: 400ps/nm
RF response: FSR=3.1 GHz
3dB BW=125 MHz (aprox)
MSLR=14 dB

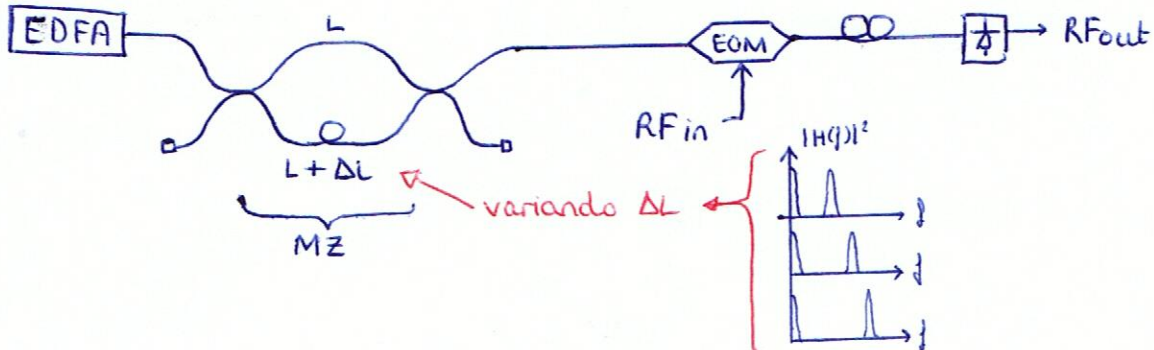
vs.

- Broadband source sliced by an MZI

- original y diferente:

- usar respuesta cos del MZI como filtro de peine \rightarrow separación entre crestas viene dada por la diferencia de caminos

\hookrightarrow se logra obtener una única banda en RF (espectro RF no replicado) gracias a que $TF(\cos) = \Delta\phi$



- Broadband source sliced by Fabry-Perot

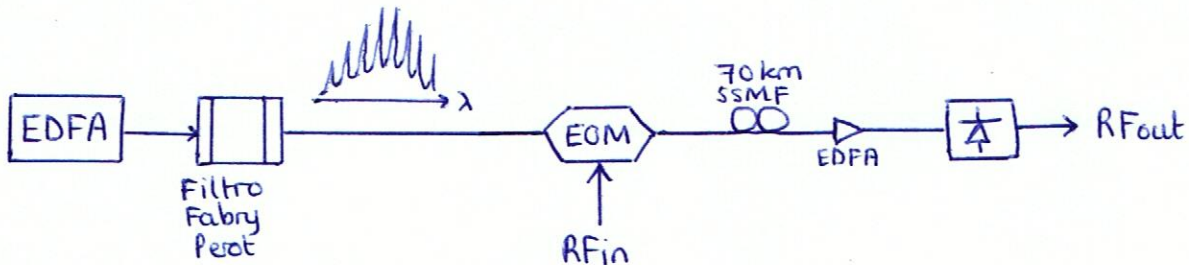
- poco flexible

- muy fácil fabricación

usar un filtro Fabry-Perot como filtro de peine

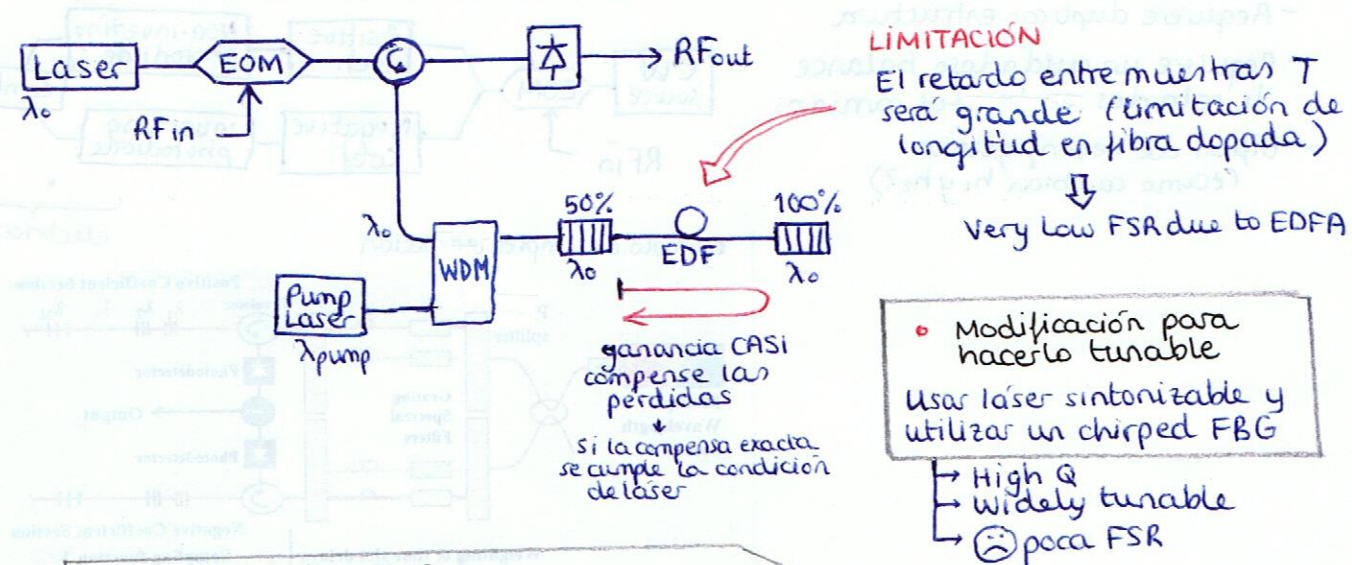
\hookrightarrow puede ser sintonizable

\hookrightarrow apodización de forma natural



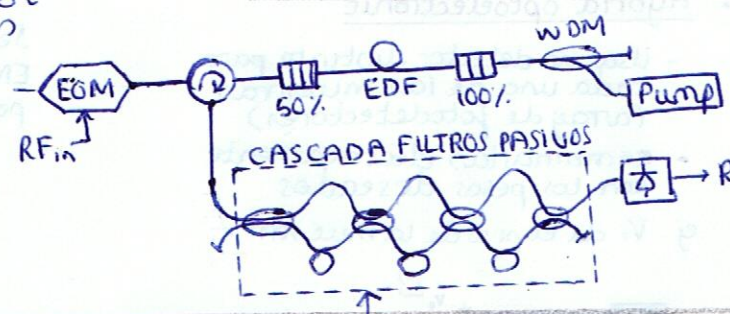
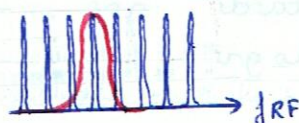
CAPÍTULO 4. FILTROS FOTÓNICOS DE RF DE ALTAS PRESTACIONES

- FILTROS CON ALTO FACTOR DE CALIDAD Q (MUCHAS MUESTRAS)
- Recirculating Filter with amplification, cavity closed by FBG



- Solución al low FSR

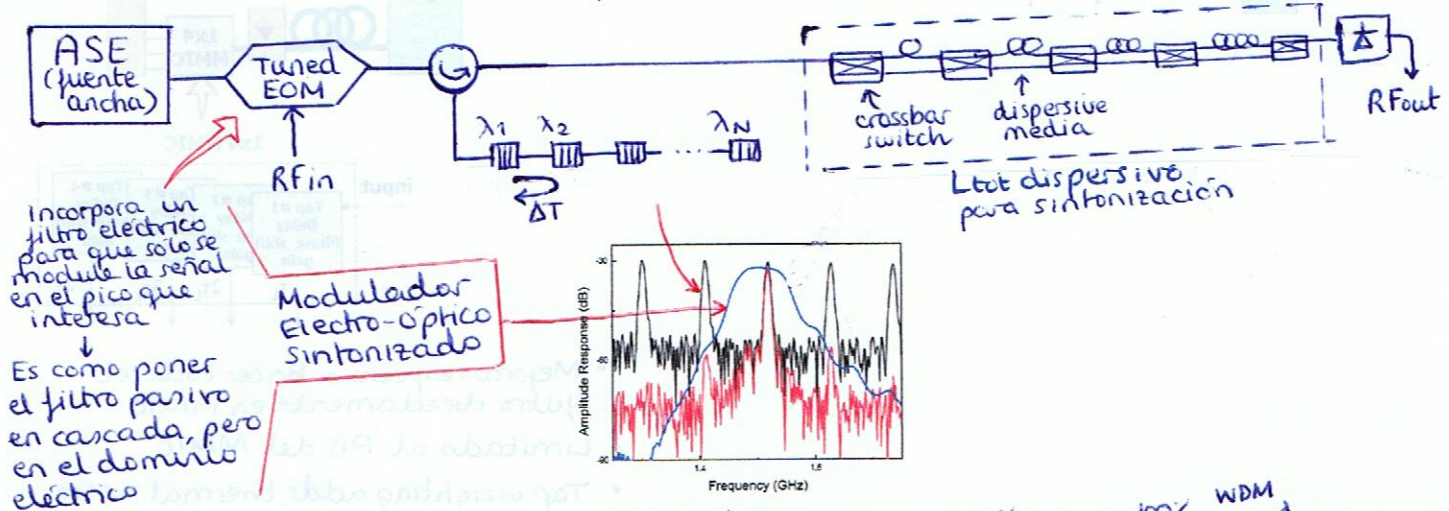
↳ Añadir nuevo filtro óptico en cascada que elimine las resonancias indeseadas



- Single resonance Filter

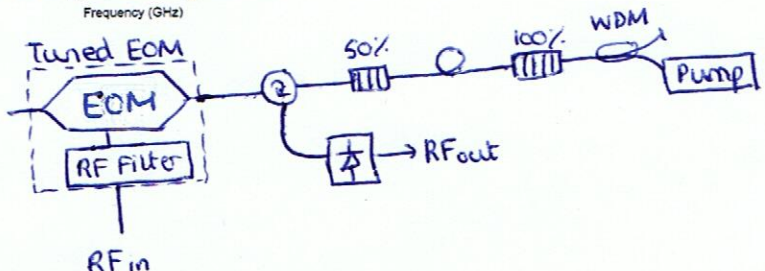
ej: Capmany, $Q=243 @ 1.5 \text{ GHz}$ (world record)
transversal filter

Quedamos con una sola resonancia N -ésima
si N alto → Filtro de alto Q
↳ cascada de filtros pasivos más compleja



ej. Capmany $Q > 3000$ (record for MWPs)

Aplicar el Tuned EOM al filtro recirculante anterior en sustitución de la cascada de filtros pasivos



FILTROS CON COEFICIENTES NEGATIVOS

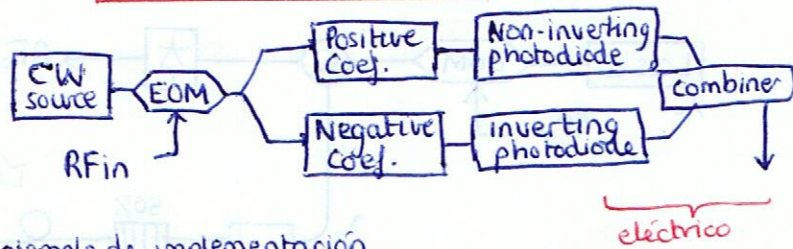
- más flexibilidad
- no siempre pasobajo

TRADITIONAL APPROACHES (TÉCNICAS ELÉCTRICAS)

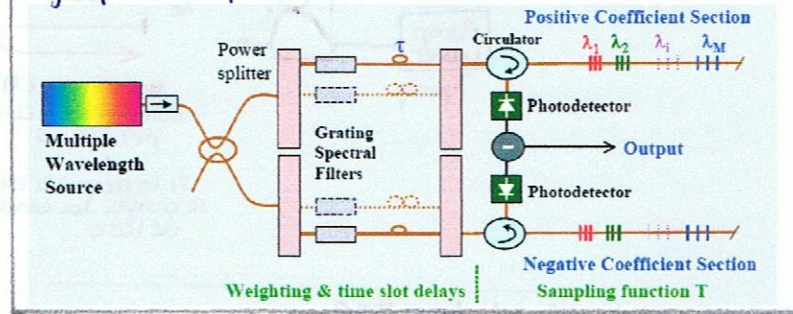
Differential Detection

- Requiere duplicar estructura
- Requiere un cuidadoso balance de retardos en los dos caminos
- Difícil de reconfigurar
(¿cómo cambiar h_1 y h_2 ?)

$$h(t) = h_1(t) - h_2(t)$$



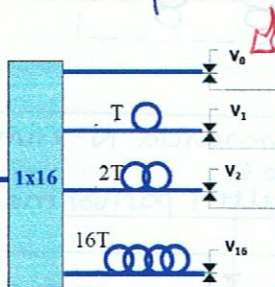
ejemplo de implementación



Hybrid optoelectronic

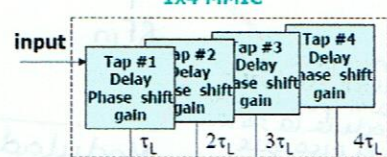
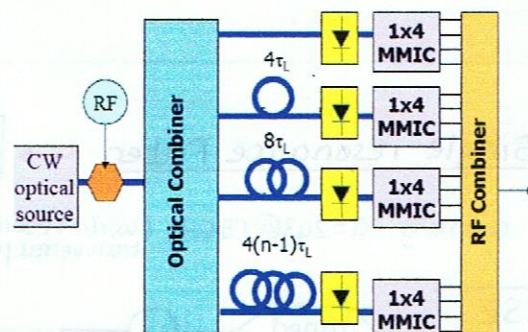
- usar un detector distinto para cada una de las muestras. (array de fotodetectores)
- combinarlas eléctricamente con los pesos deseados

ej: Vi da el peso de la muestra



chip monolítico
Se puede usar un MMIC para EN EL DOMINIO ELÉCTRICO introducir pesos y retardos finos

- Retardo grueso en óptico ($4\tau_L$)
- Retardo fino en eléctrico (τ)

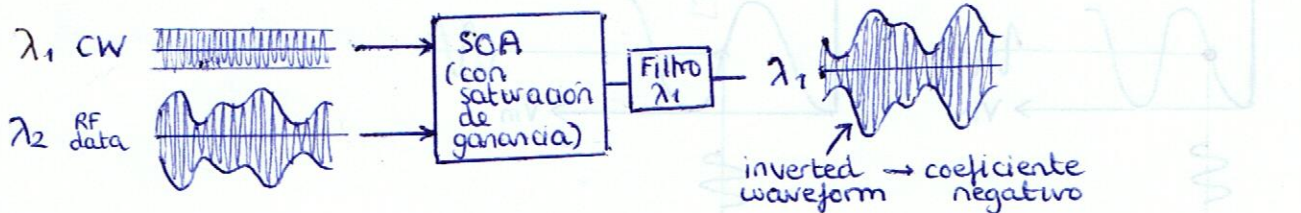


- Mejora respecto a hacer todo el filtro directamente en MMIC
- Limitado al AB del MMIC
- Tap weighting adds thermal noise

RECENT APPROACHES (TÉCNICAS ÓPTICAS)

- Phase inversion using SOA cross-gain modulation (XGM) + λ conversion

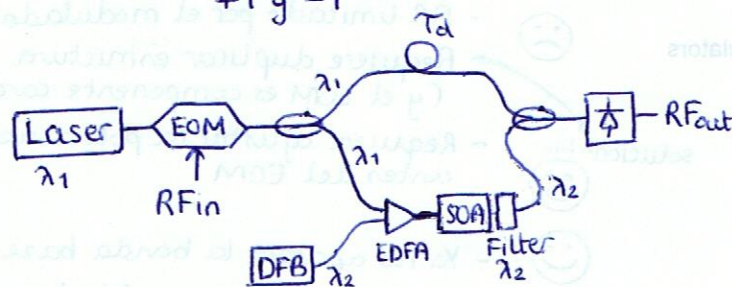
Concepto:



Implementación:

ej: Notch (2 muestras)

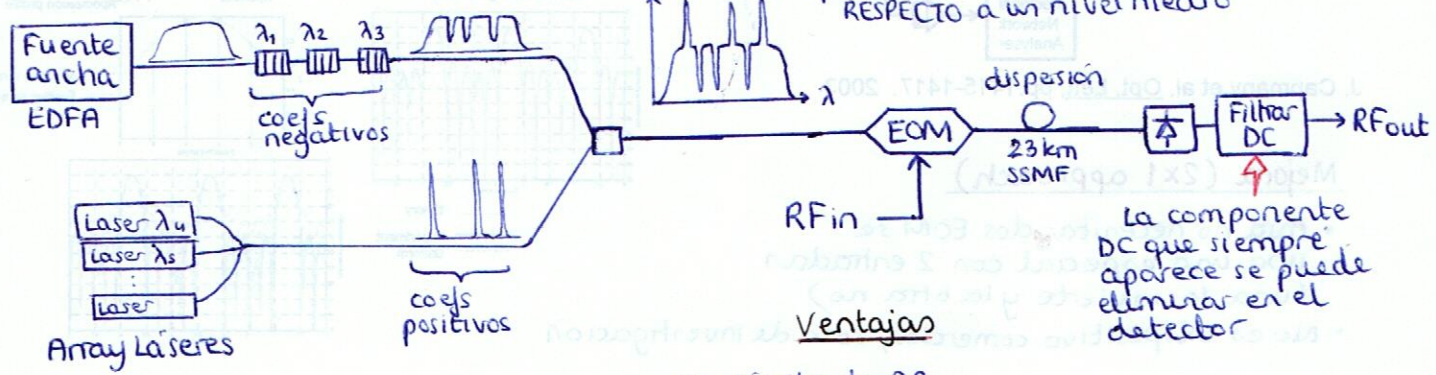
+1 y -1



Inconvenientes:

- AB limitado por el ABXGM
- Difícil de reconfigurar (ej: cambiar signo?)
- Costoso implementar más muestras (sólo se ha demostrado notch con 2)
- El SOA es sensible a la polarización

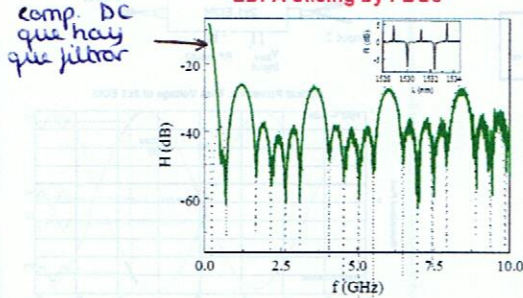
- EDFA slicing by uniform FBG



- Sin límite de AB
- Reconfigurable (combinar FBGs y láseres)
- Polarization insensitive (EDFAs y FBG)

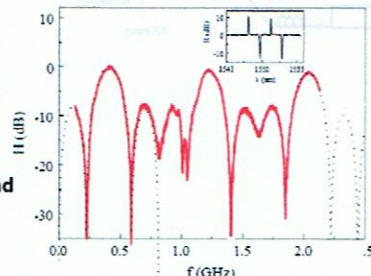
comp. DC que hay que filtrar

EDFA Slicing by FBGs



5 tap, 1.16 nm-equispaced around 1530 nm filter

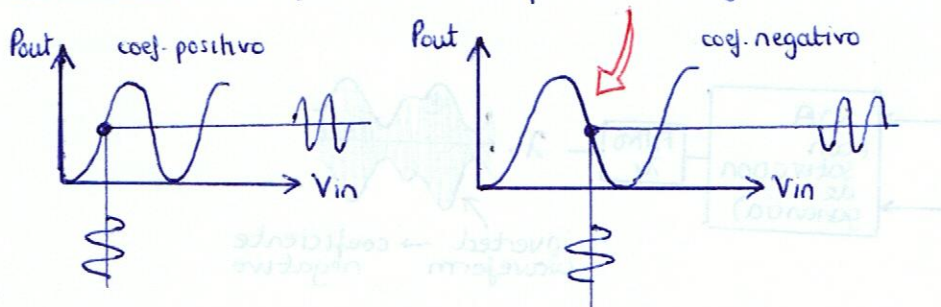
4 tap, 1.56 nm-equispaced around 1550 nm filter



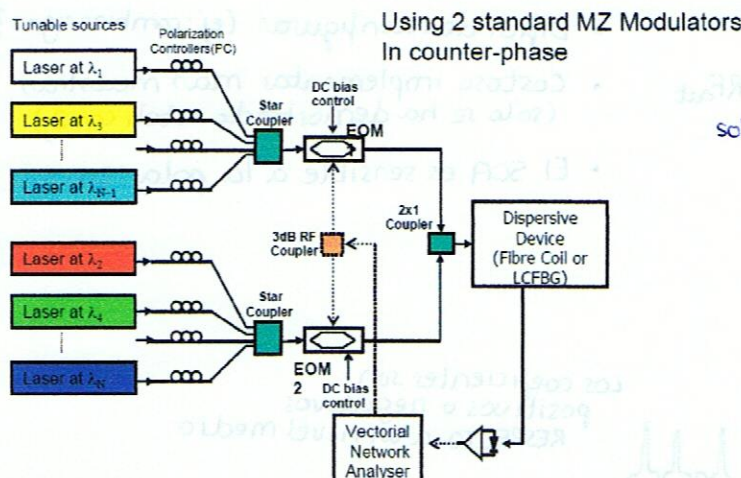
• Phase inversion in Electro-Optic modulators

Novel technique within
IST-labels

Concepto MZM polarizado con pendiente negativa



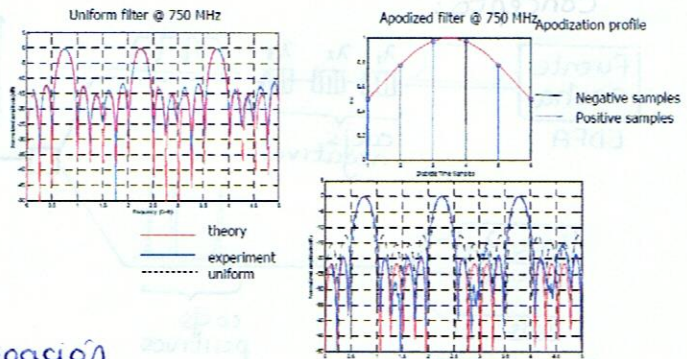
Implementación (1x2 approach)



J. Capmany, et al, Opt. Lett, pp.1415-1417. 2003

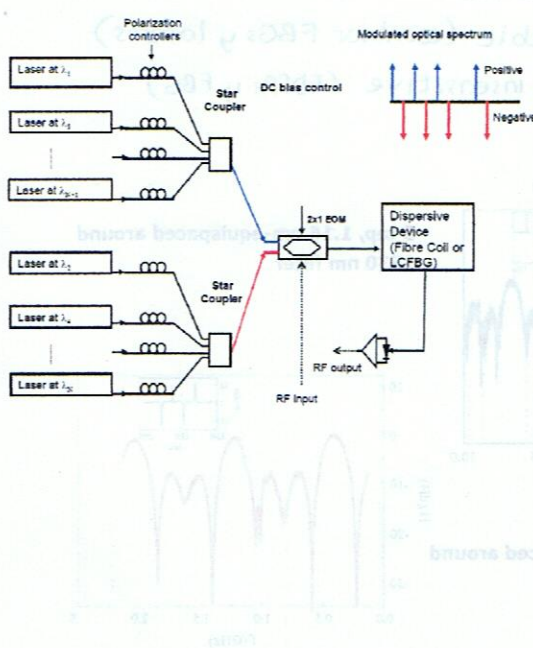
Características

- AB limitado por el modulador
- Requiere duplicar EOM
(y el EOM es componente cara)
- Requiere ajustar la polarización
antes del EOM
- solucionable
- Ya no aparece la banda base
- Apodizar es independiente
(Phase inversion decoupled
from any weighing process)

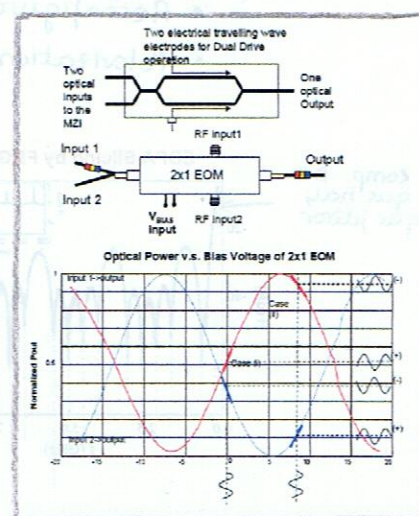


Mejora (2x1 approach)

- Para no necesitar dos EOM se usa uno especial con 2 entradas (una la invierte y la otra no)
- No es dispositivo comercial, sólo de investigación



2x1 EOM

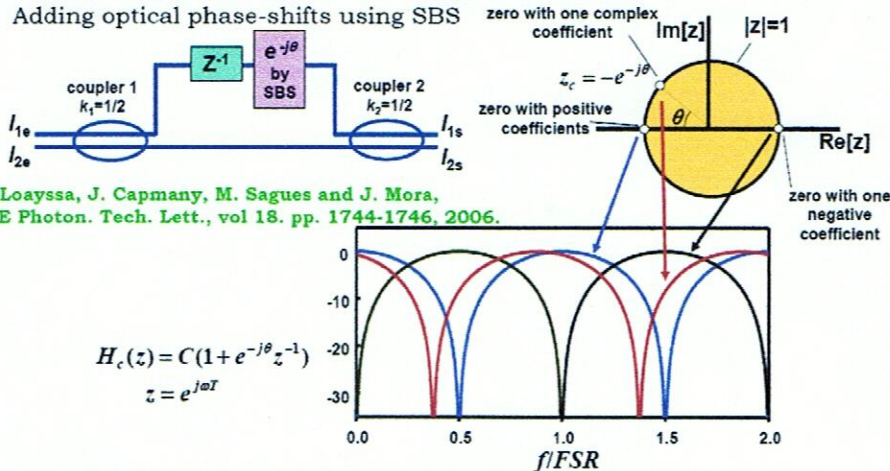


Ya no necesita
dos EOM

FILTROS CON COEFICIENTES COMPLEJOS

Complex coefficients can be achieved by

Adding optical phase-shifts using SBS

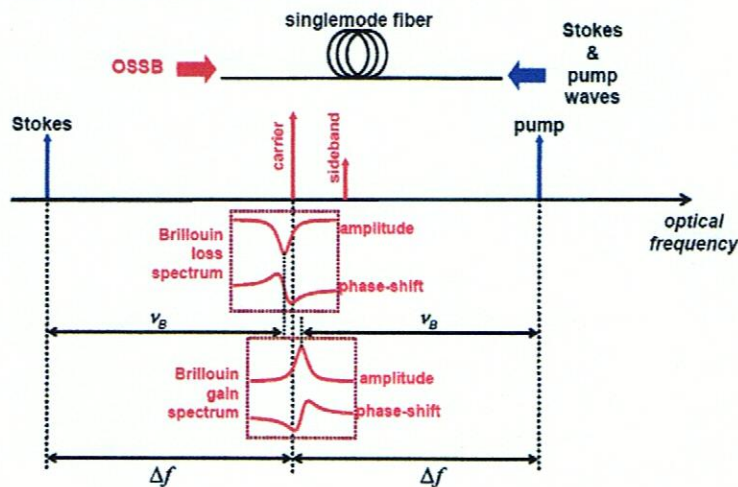


A. Loayssa, J. Capmany, M. Sagues and J. Mora,
IEEE Photon. Tech. Lett., vol 18, pp. 1744-1746, 2006.

Use Stimulated
Brillouin Scattering

- Advantage complex-coefficient filters:
- Tunability without changing T, FSR or spectral shape

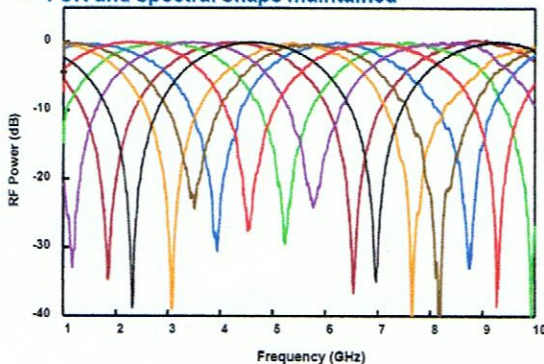
- We need to modify the phase of the optical carrier not affecting its amplitude



Experiments: 2-tap complex-coefficient filter

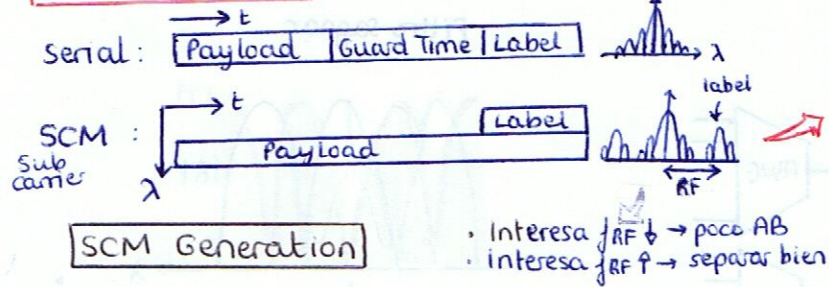
A. Loayssa, J. Capmany, M. Sagues and J. Mora,
IEEE Photon. Tech. Lett., vol 18, pp. 1744-1746, 2006.

- Frequency response as the phase shift is tuned >FSR
- FSR and spectral shape maintained

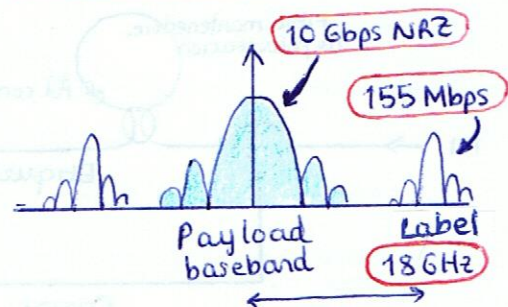


CAPÍTULO 5: SEPARACIÓN DE ETIQUETA Y CARGA EN REDES DE CONMUTACIÓN DE PAQUETES ÓPTICOS MEDIANTE EL INTERCAMBIO DE ETIQUETAS

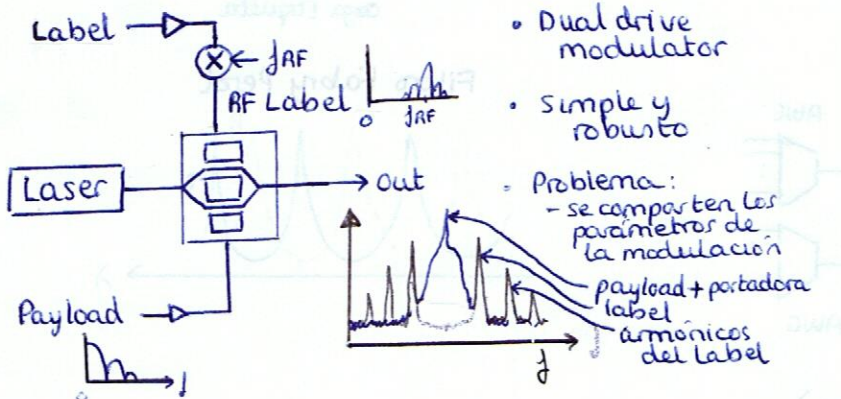
LABEL CODING



DESCRIPTION OF "LABELS" NODE

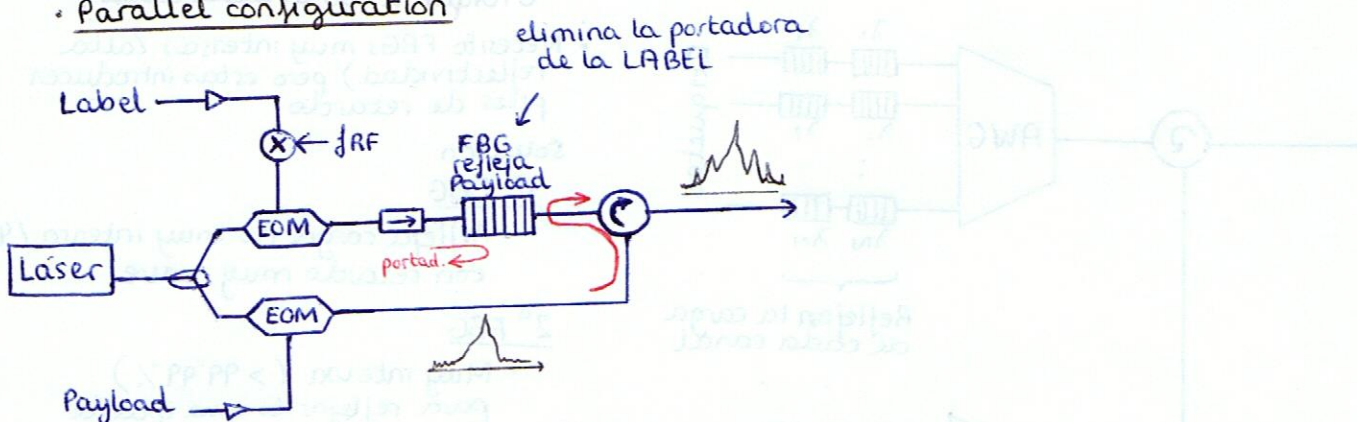


Direct configuration

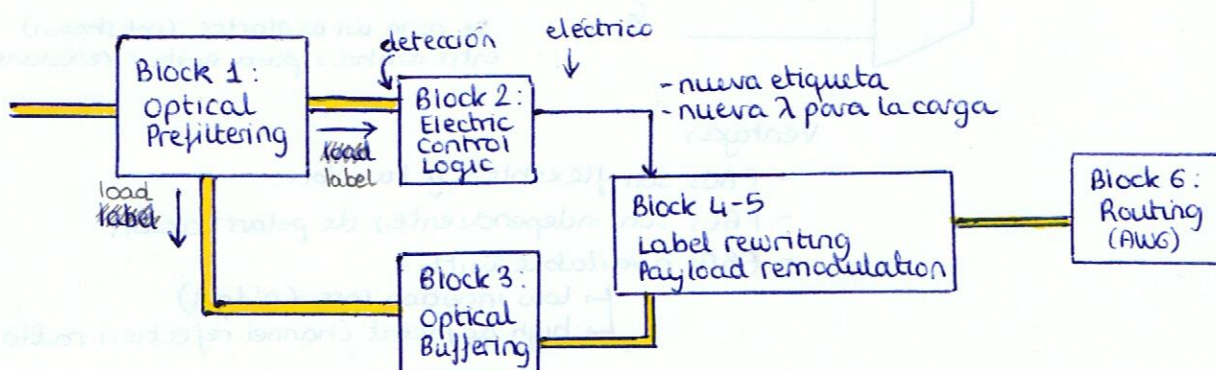


- Label extracted with photonic filter detected and electrically processed
- Payload is left intact
- delayed wavelength converted
- New label is modulated on the payload

Parallel configuration



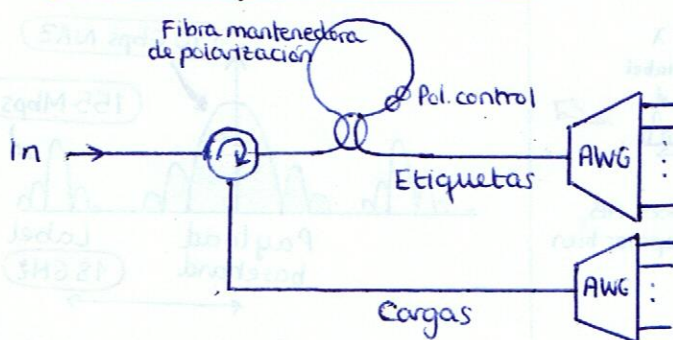
BLOCK DIAGRAM: A NODE IN 'LABELS' PROJECT



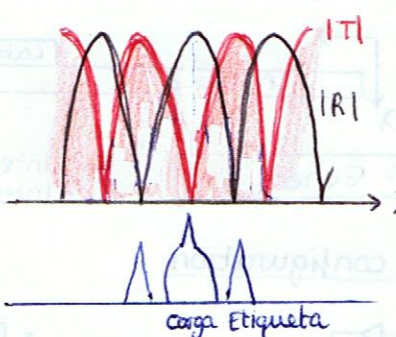
BLOCK 1 : OPTICAL PREFILTERING

3 posibilidades:

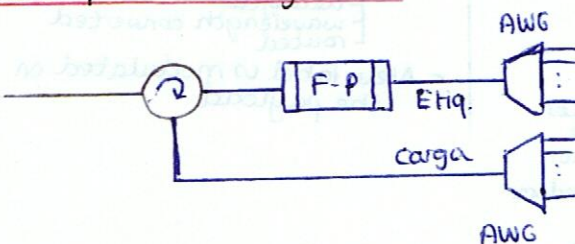
- Usar interferómetro Sagnac



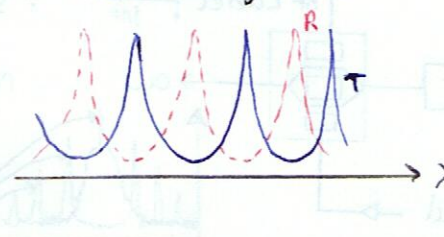
Filtro sagnac



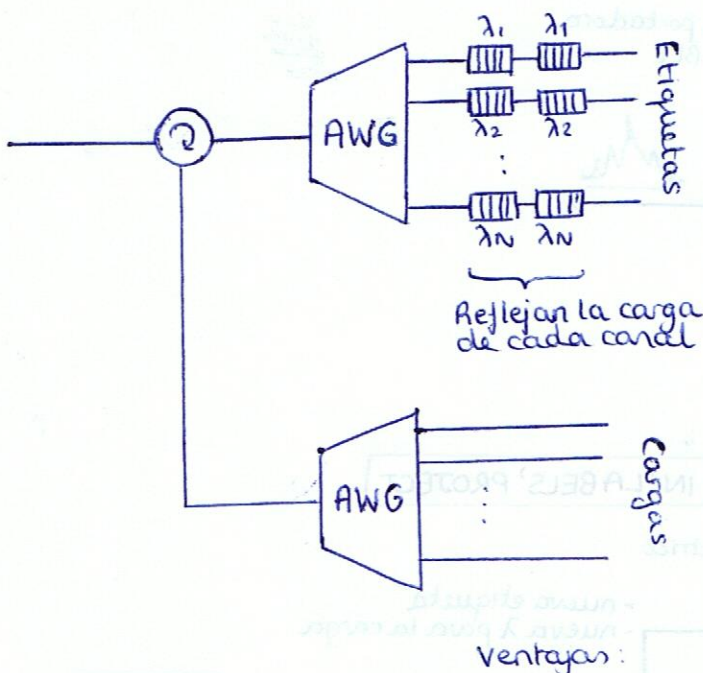
- Usar filtro Fabry-Perot



Filtro Fabry Perot



- Usar tandem FBG (la que se usa)



¿Porqué 2 FBG en cada canal?

- Necesito FBGs muy intensas (alta reflectividad) pero estas introducen picos de retardo

Solución

1^a FBG

- Refleja carga no muy intensa (99%) con retardo muy suave

2^a FBG

- Muy intensa (> 99.99%) para reflejar lo que quede de carga (aunque tenga picos de retardo)

Se pone un aislador (not shown) entre ambas para evitar resonancias

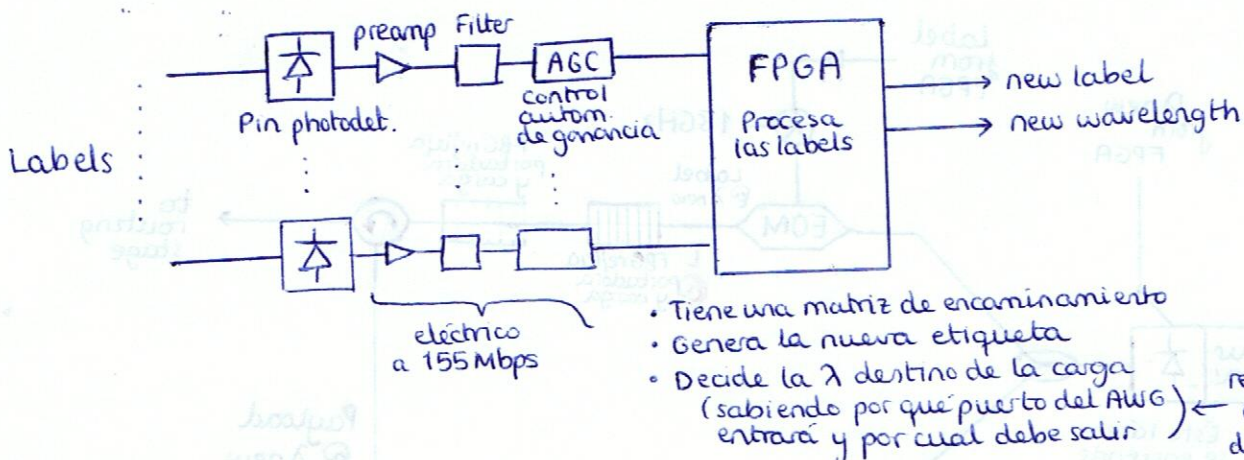
Ventajas:

- FBGs son flexibles y tunables
- FBGs son independientes de polarización
- FBGs available with

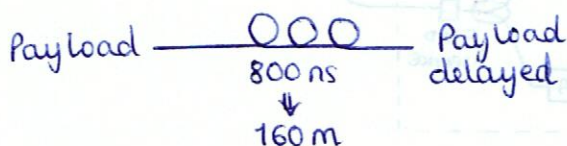
↳ low insertion loss (0.1dB)

↳ high adjacent channel rejection ratio

BLOCK 2 : CONTROL LOGIC

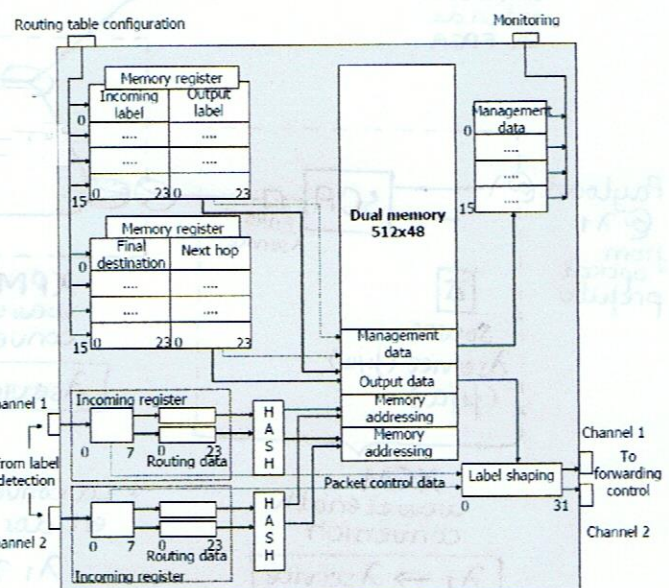


BLOCK 3 : OPTICAL BUFFER

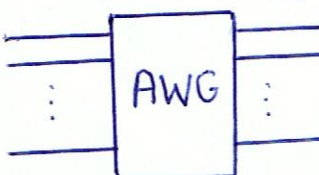


¿Cuánto tiempo lo retenemos?

- detección
- procesado de la FPGA
- instrucciones a los láseres y de nueva etiqueta
- tiempo de puesta en marcha de los láseres



BLOCK 6 : ROUTING



A given wavelength launched through a given input port will come out through the destination port following the AWG cyclic response

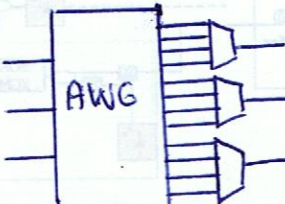
- Esta filosofía implica que el λ salida venga fijada por los puertos de entrada y salida
- No tengo libertad para elegir la λ deseada

No puedo hacer 'caminos ópticos'

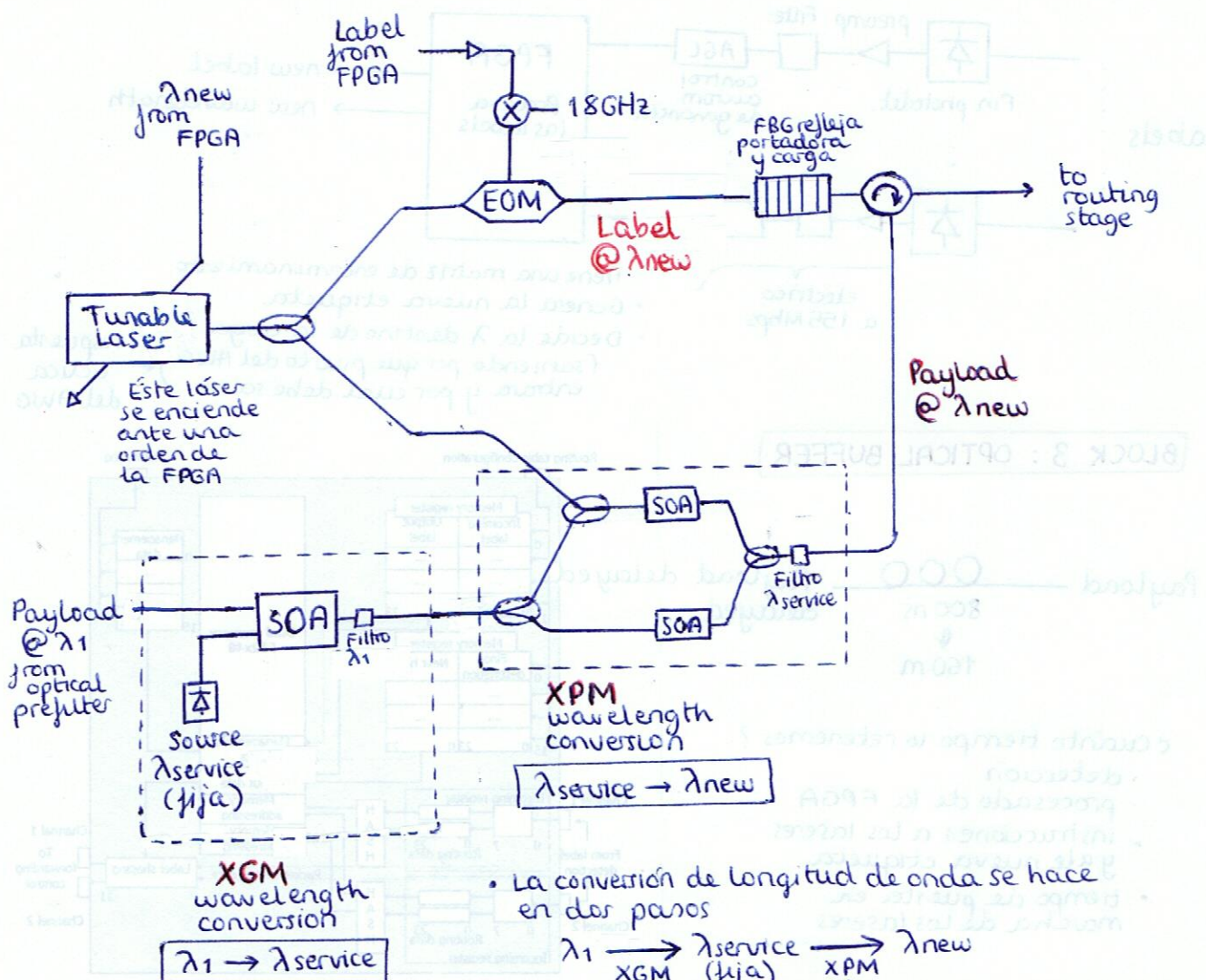
- ↳ técnica de conmutación de circuitos consistente en rutar con la λ
- ↳ No es un problema en redes best-effort no orientadas a la conexión
- ↳ Aunque existen redes híbridas (de circuitos + paquetes para overspill)

How can I overcome the problem?

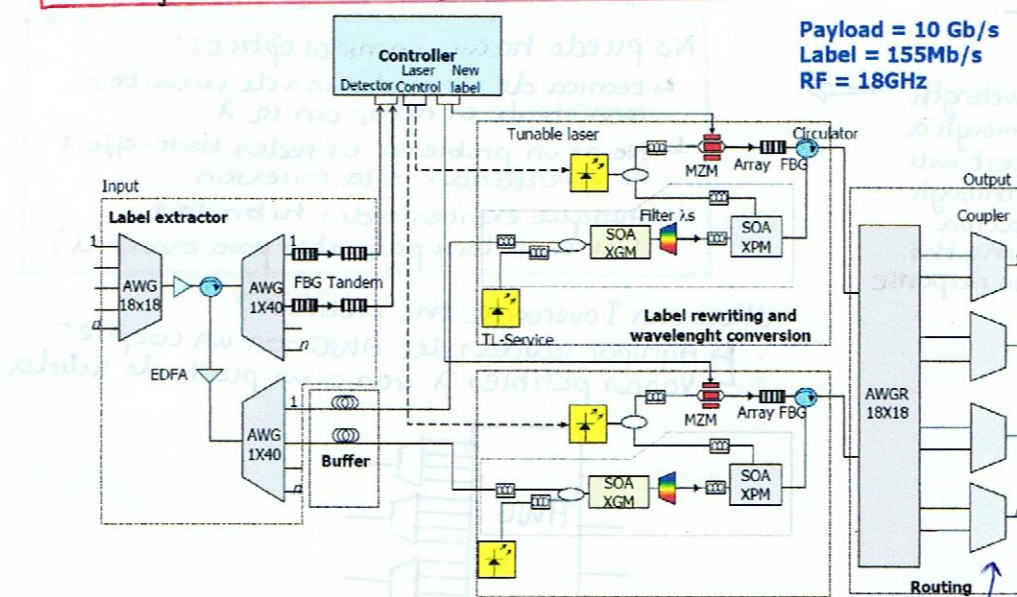
- ↳ Agrupar salidas del AWG con un coupler
- ↳ Varias posibles λ van a un puerto de salida



BLOCK 4-5: LABEL REWRITING AND WAVELENGTH CONVERSION



• Montaje total con 2 longitudes de onda



Routing block allows the assignment of any wavelength on any output port gracias a los acopladores

CAPABILITIES

Información eléctrica contenida en los 'labels'

112 bits @ 155 Mb/s \rightarrow 772 ns

1010... indica comienzo

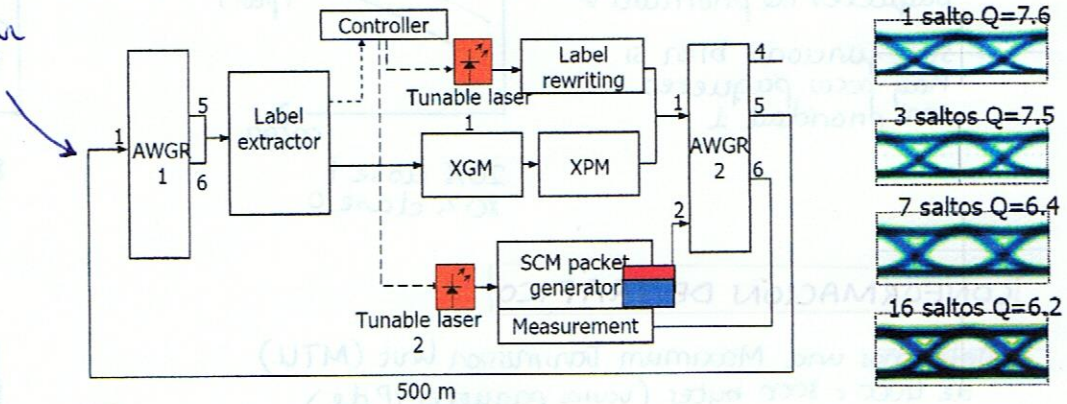
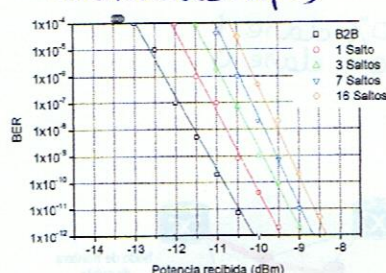
Local	Preamble	Unique word	Type	Addressing	Priority	Duration	TI
	64 bits	16 bits	1 bit	24 bits	1 bit	4 bits	2 bits

ingeniería de tráfico

Global	Preamble	Unique word	Type	Destination	Source	Priority	Duration	TI
	64 bits	16 bits	1 bit	12 bits	12 bits	1 bit	4 bits	2 bits

DIMENSIONING

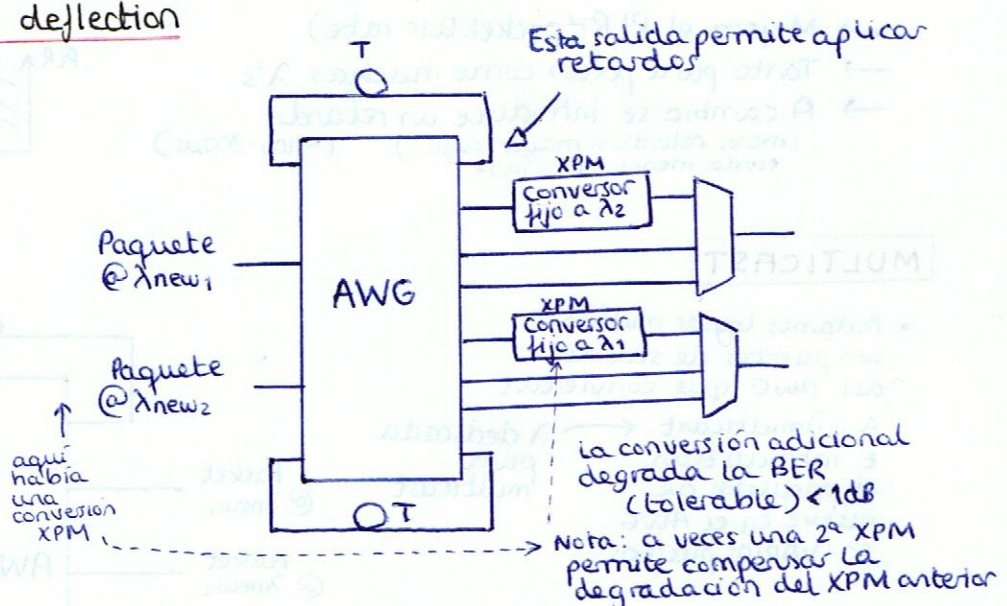
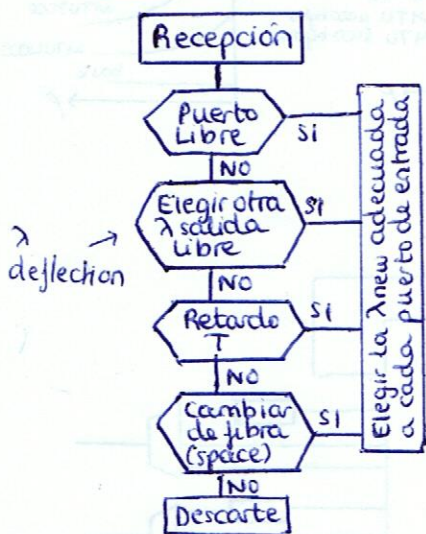
En el montaje añadieron un bucle para poder medir el dimensionado (número de hops)



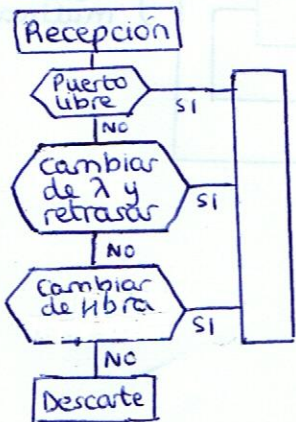
COLISIONES

Difícil de solucionar por no tener memorias ópticas:

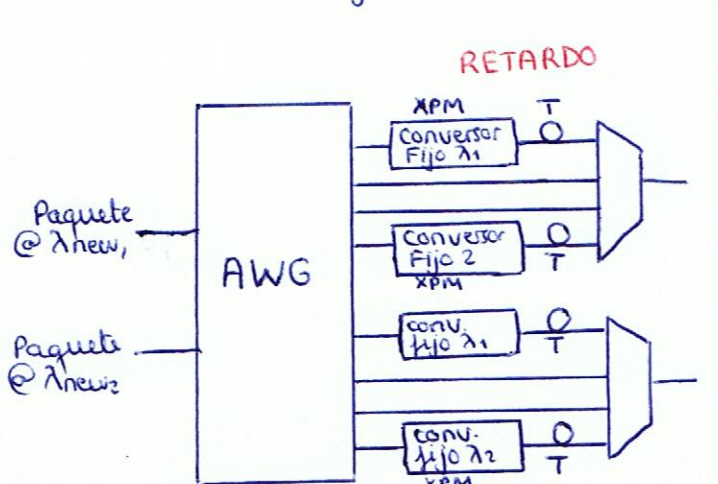
Solución 1. Wavelength deflection



Solución 2. Parallel converters



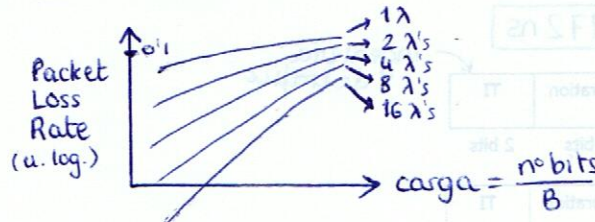
- Cada salida tiene cada λ y la λ retrasada
- Permite wavelength continuity (caminos ópticos)



De nuevo la 2ª XPM puede compensar la degradación de la primera

MODELADO DE COLISIONES

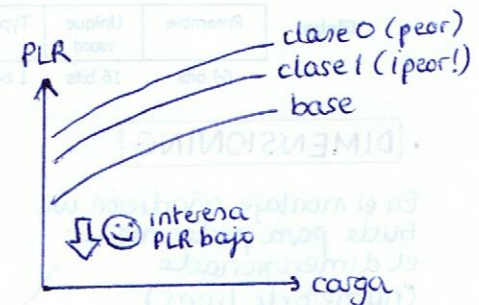
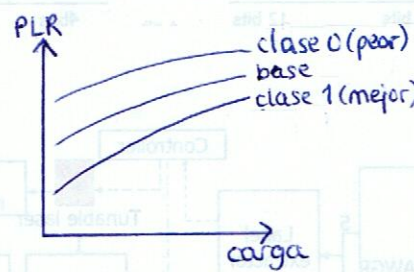
NS2 (Network Simulator)



- A mayor carga más pérdidas
- A mayor nº de long. de onda menos PLR
- (Not shown) Parallel converters mejor PLR que Wavelength Deflection

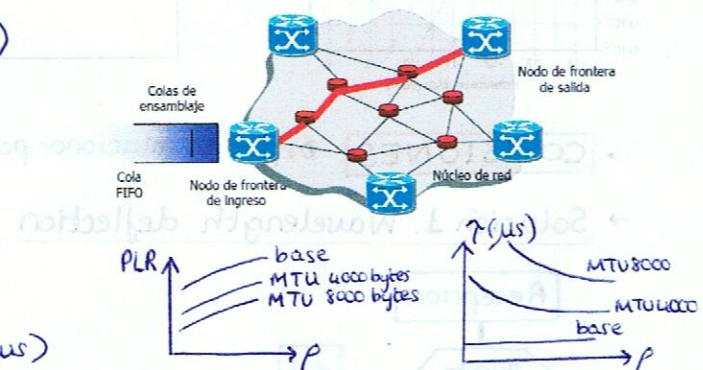
USO DEL BIT PRIORIDAD

- se deflectan primero los paquetes de prioridad 0
- sólo funciona bien si hay pocos paquetes con prioridad 1



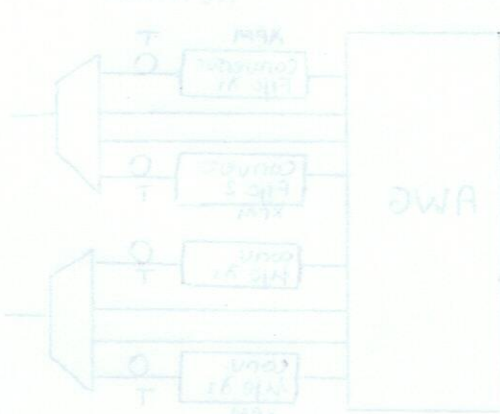
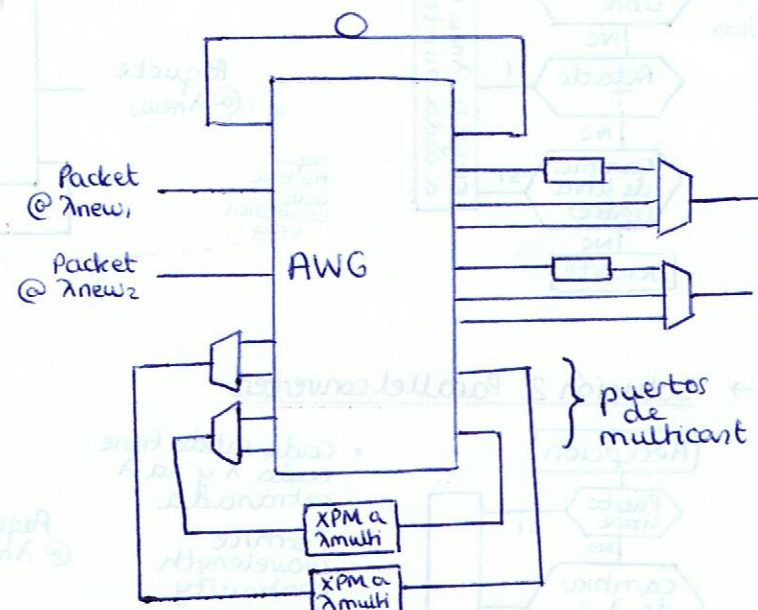
CONFORMACIÓN DE TRÁFICO

- Definimos una Maximum Transmission Unit (MTU) de 4000 o 8000 bytes (varios paquetes IP de longitud máxima)
- No transmitimos hasta que se llena la MTU en la cola de ensamblaje
 - Mejora el PLR (packet loss rate)
 - Tanto para pocas como muchas λ's
 - A cambio se introduce un retardo (menor retardo a mayor carga!) ($\sim 100-200\mu s$) tarda menos en llenarse



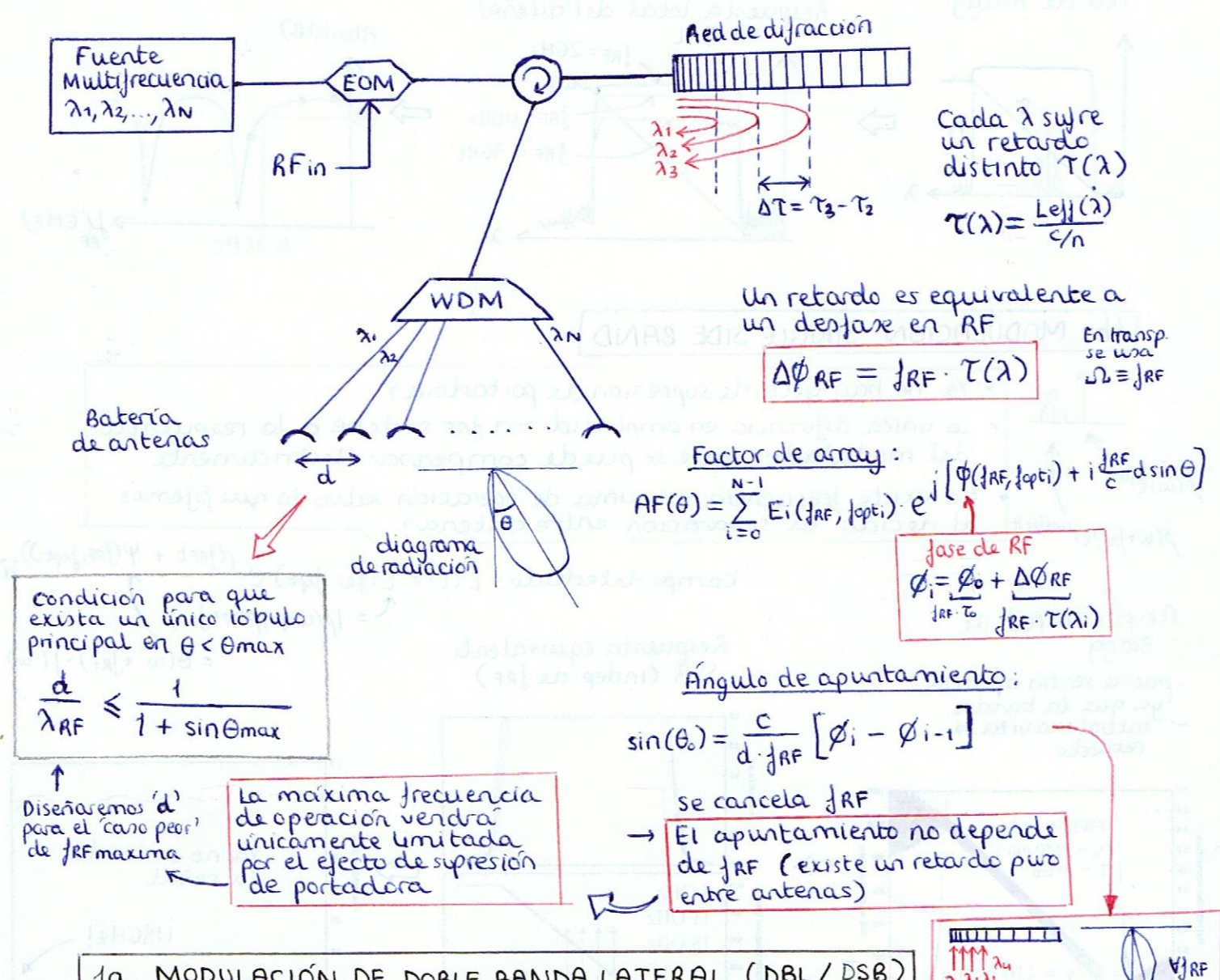
MULTICAST

- Podemos lograr multicasting con puertos de salida del AWG que convierten a $\lambda_{multicast}$ → dedicada para multicast e introducen el paquete de nuevo en el AWG en VARIOS puertos



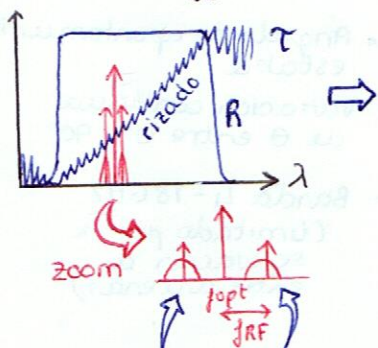
CAPÍTULO 6: LINEAS DE RETARDO PARA CONFORMACIÓN ÓPTICA DE HACES EN BATERÍAS DE ANTENAS DE MICROONDAS

1. LINEA DE RETARDO VARIABLE BASADA EN UNA RED DE DIFRACCION DISPERSIVA

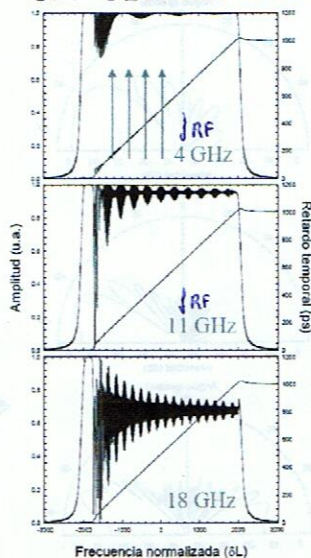


1a. MODULACIÓN DE DOBLE BANDA LATERAL (DBL/DSB)

Respuesta de la Red de Bragg

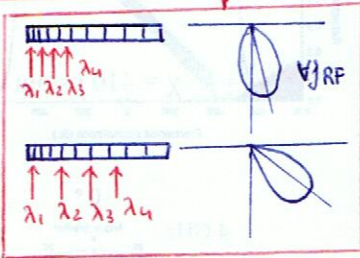


Respuesta total de la modulación con DBL variando f_{RF}



A mayor f_{RF}

- más se suaviza el retardo
- más se distorsiona la amplitud (se están sumando las bandas laterales en desfase)
- (el rizado del retardo hace que la suma varíe mucho)

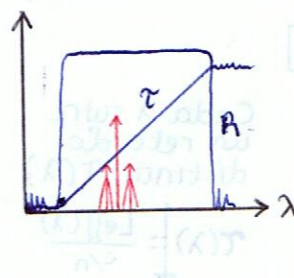


↑ si el chirp es lineal:
Diferencias de retardo constantes
↔ λ ópticas equiespaciadas

Apodizando la red de difracción (medidas experimentales)

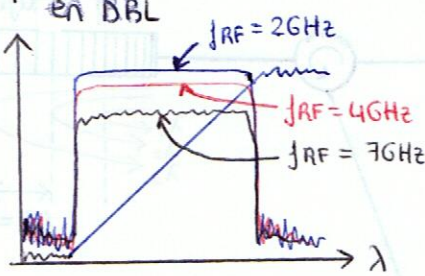
Desaparece el rizado en el retardo:

Respuesta de la red de Bragg



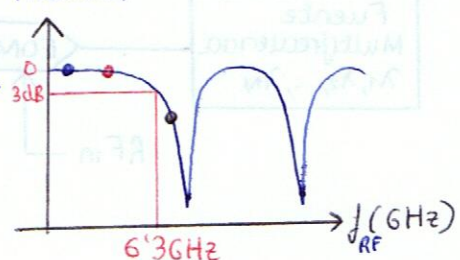
Ahora el efecto de supresión de portadora se ve más claro al variar f_{RF}

Respuesta total del sistema en BBL



Se ajusta la separación de las antenas para esta f_{RFmax}

Aten (dB)



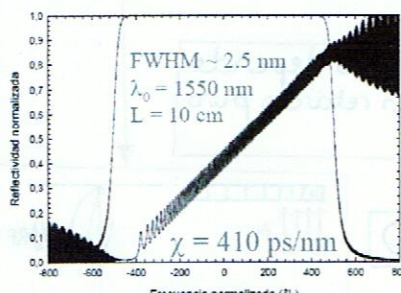
1b. MODULACION SINGLE SIDE BAND

- Ya no hay efecto de supresión de portadoras
- La única diferencia en amplitud con f_{RF} se debe a la respuesta del modulador, que se puede compensar electricamente
- No existe frecuencia máxima de operación salvo la que fijemos al decidir la separación entre antenas

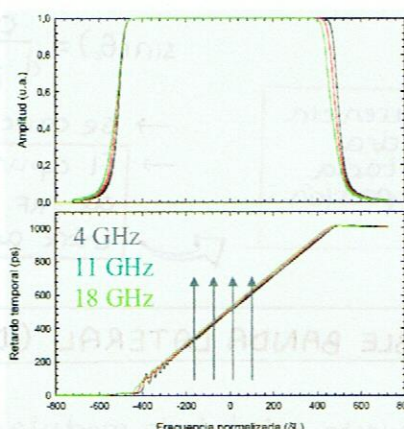
$$\begin{aligned} p(w)e^{jw} \\ p(w+f_{RF})e^{j(w+f_{RF})t} \end{aligned}$$

Respuesta red de Bragg

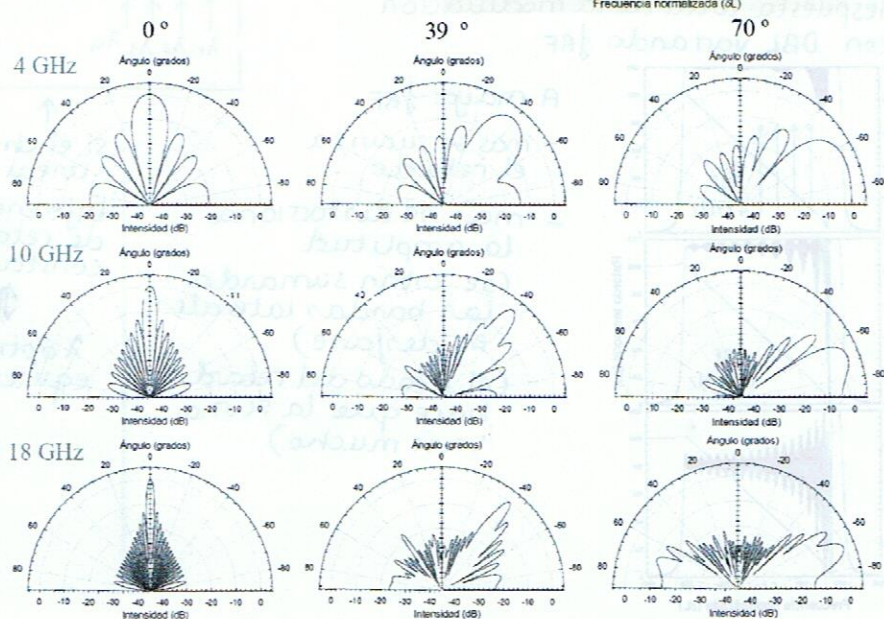
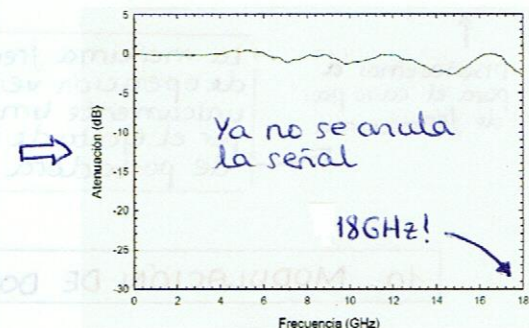
- puede ser sin apodizar, ya que la banda lateral suaviza el retardo



Respuesta equivalente SSB (indep. de f_{RF})



$$\begin{aligned} \text{campo detectado: } \bar{E}(t) &= E(f_{RF}, f_{opt}) e^{j(f_{RF}t + \psi(f_{RF}, f_{opt}))} \bar{u} \\ &= |p(w)| \cdot |p(w+f_{RF})| \\ &= \Theta(w + f_{RF}) - \Theta(w) \end{aligned}$$



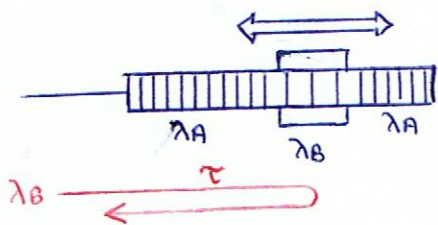
- Ángulo de apuntamiento estable
- Variación continua de θ entre 0° y 90°
- Banda 4 - 18 GHz (limitado por la separación d entre antenas)

← Diagramas de radiación calculados a partir de la fase medida experimentalmente

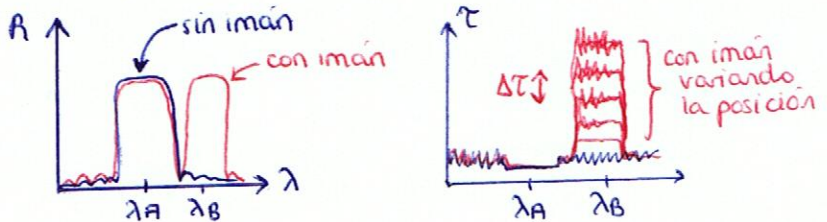
2. LINEA DE RETARDO VARIABLE BASADA EN RED UNIFORME CON ELEMENTO PERTURBADOR

- Trabaja en una única frecuencia → Ahorramos el láser multifrecuencia

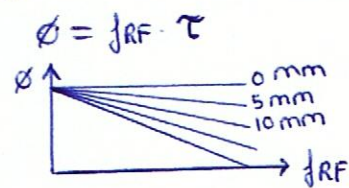
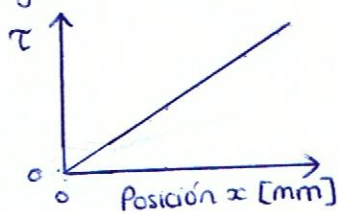
Concepto



Elemento perturbador del periodo → barra electrorestrictiva
↳ zona perturbada refleja λ_B



Desplazando el elemento perturbador se logra ajustar el retraso → y por tanto el desfase sufrido



Implementación

utilizar una red de difracción para cada antena, con la posición de la zona perturbada ajustada en cada una

- No requiere fuente multifrecuencia ni DEMUX
- Una línea para cada elemento radiante

